

Flood forecasting and early warning system for the Amur river

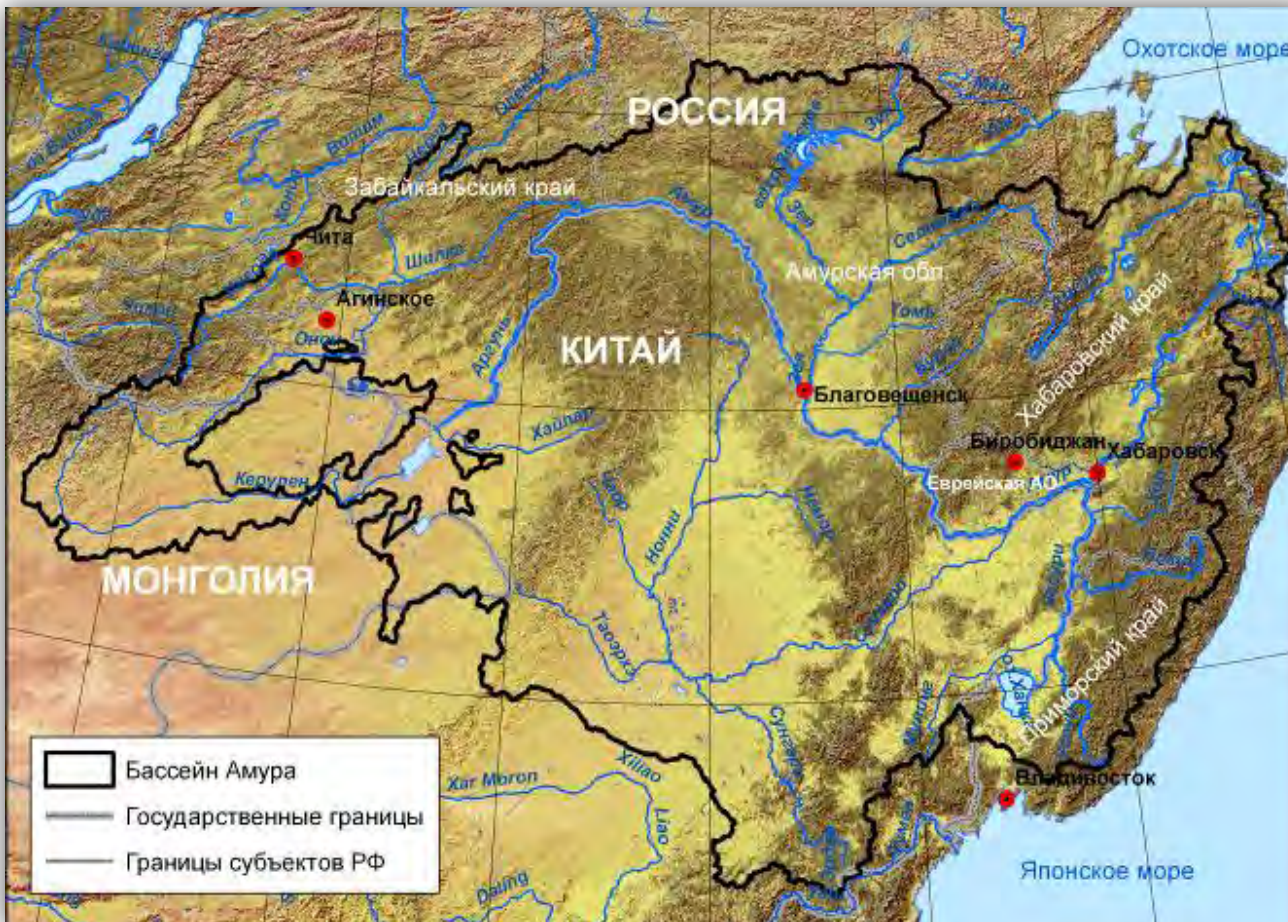
FFEWS “Amur”

S. Borsch, Y. Simonov

The Amur river – runoff conditions

The Amur River is the main river of the Far East of Russia and one of the largest rivers in the world.
It is 2.8 thousand km long (from the confluence of the Shilka and Argun rivers)
and has a catchment area of 1.85 million km².

The average annual water discharge of the Amur River at Khabarovsk is 8.3 thousand m³/s
and at Komsomolsk-on-Amur, 9.6 thousand m³/s



The Amur River is a transboundary river. Its basin is located in three states:

- Russia (995 thousand km², about 54% of the catchment area);
- China (44% of the catchment area)
- Mongolia (2% of the catchment area).

The Amur River is the longest transboundary river in Russia.

The Argun, Amur and Ussuri rivers form the state border between Russia and China, which is more than 3.5 thousand km long.

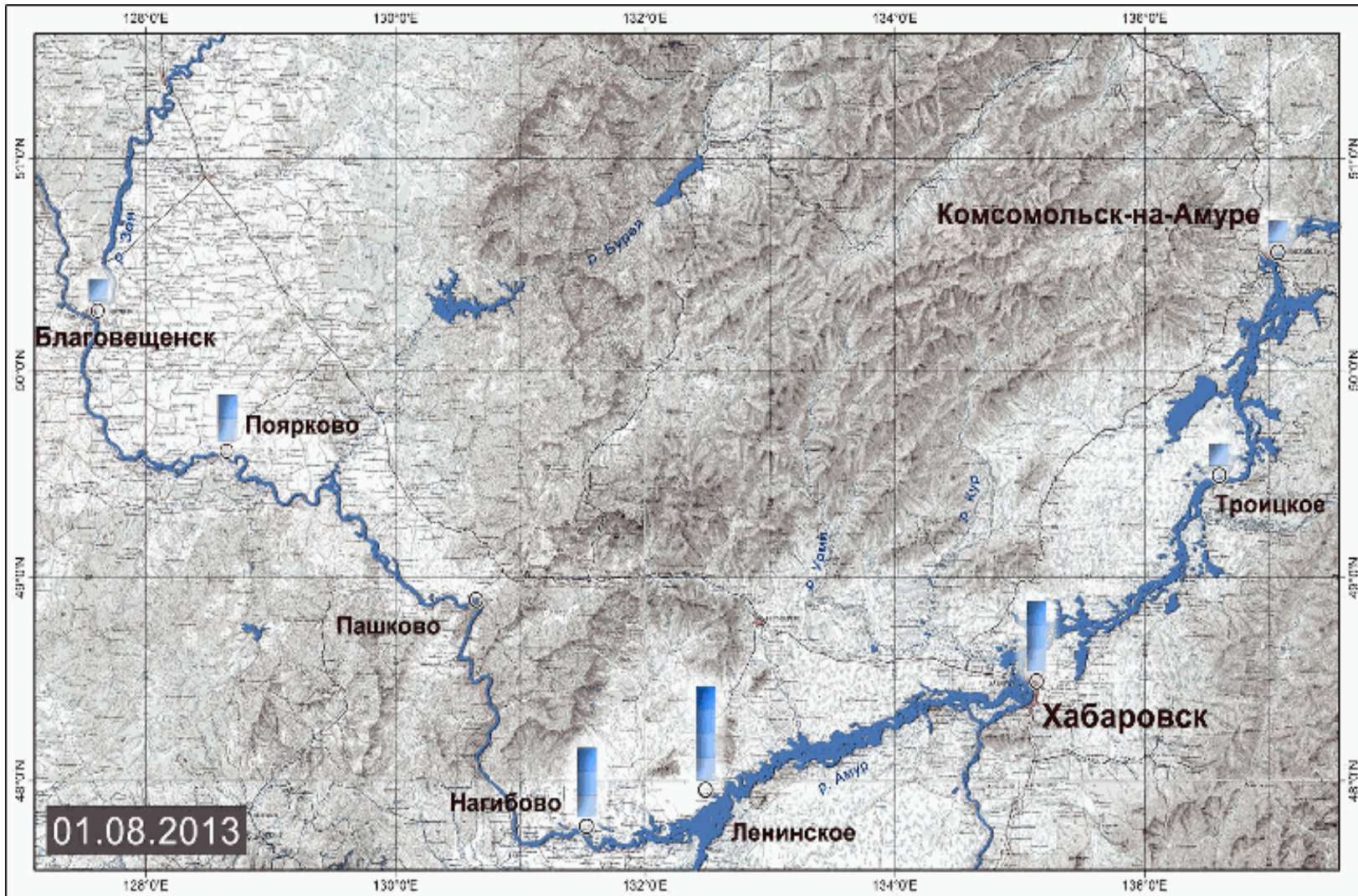
The Amur river – 2013 flood



In July-September 2013, a catastrophic flooding occurred in the Amur River basin, affecting vast areas of Russian Far East and northern China. It had become one of the largest natural disasters of recent decade in terms of duration, extent and economic losses.

Satellite monitoring of 2013 flood

Catastrophic flooding in the Amur River basin
(Satellite monitoring of floodplain inundation: August-October 2013)



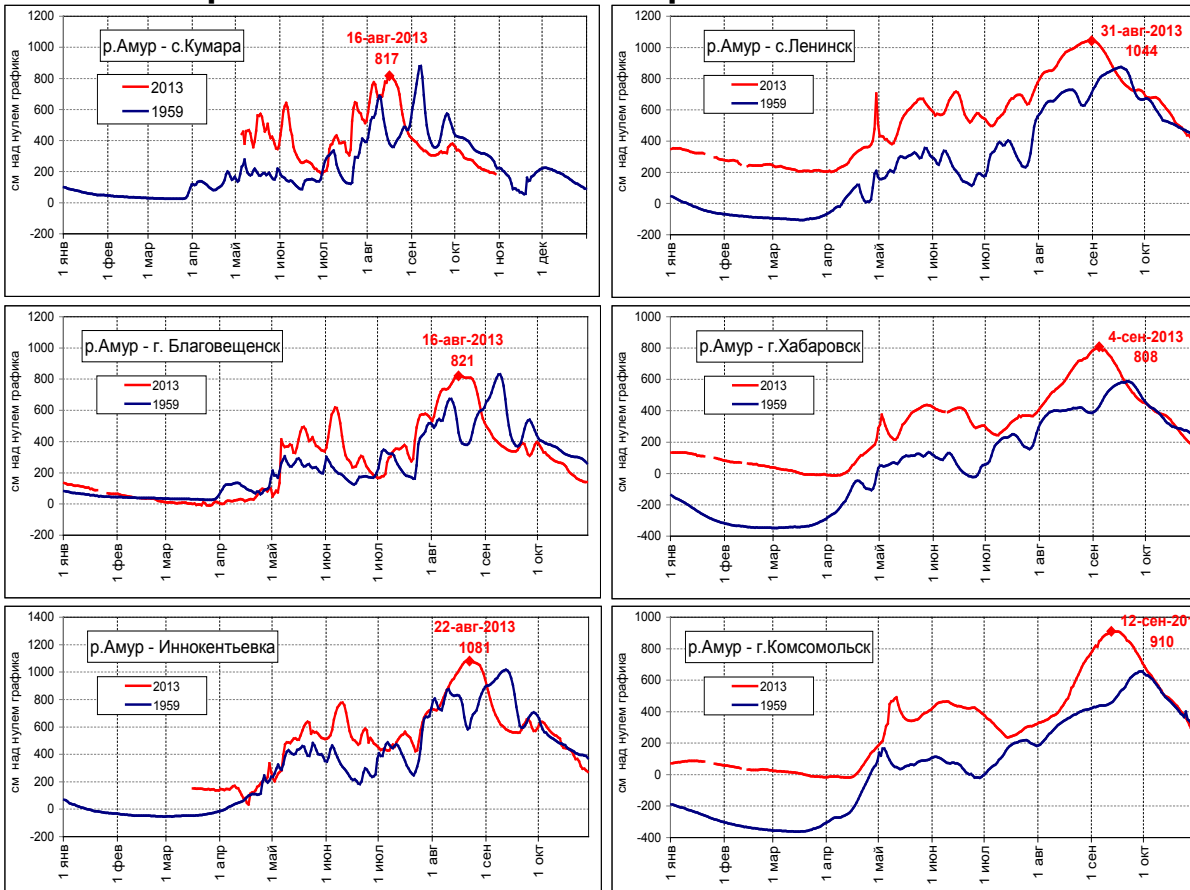
State Research Center
“Planeta” and its Far Eastern branch provided relevant and timely information on the flooding extent. High-resolution satellite images (resolution up to 10-50 m) allowed to correctly identify flood inundation areas.

(from Meteor-M №1, Canopus-B, Landsat-8, TERRA, and AQUA satellites)

2013 flood – main factors

COMPLEX ANALYSIS OF 2012-2013 HYDROMETEOROLOGICAL CONDITIONS IN THE AMUR RIVER BASIN FIGURED OUT THE FOLLOWING PRINCIPAL FACTORS OF THE CATASTROPHIC 2013 FLOODING IN THE AMUR RIVER BASIN:

- (a) hydrological conditions prior to the flooding;
- (b) meteorological conditions of 2013;
- (c) superposition of flood wave peaks of main river and its tributaries;
- (d) changes in channel and floodplain capacity – among other reasons, because of construction of bank protection structures and protection dams.



Daily water level 2013 hydrographs vs. 1959 hydrographs

1. Winter and spring water levels significantly exceeded their long-term mean values. The figure shows daily water level hydrographs for several streamflow gauging stations on the Amur River. The year 1959 ranks third for the period of observations in terms of peak water discharge and water level on the Lower and Middle Amur. Before the 2013 flooding, water levels were more than 2 m higher than those of 1959.
2. Precipitation amount of autumn 2012 (September - October) in the Amur River basin exceeded norm by 120-200%, locally by 250%, resulting in oversaturation of soils.
3. In 2013, there was a late and high spring flood.
4. In June and early to mid July, there was virtually no low-flow period; when the rains began, runoff losses were minimal.

Impact of 2013 flood

According to the EMERCOM of Russia, the consequences of the 2013 flooding in the Amur River basin were as follows:

- over 200 settlements with population of about 80 thousand people
- and about 600 thousand hectares of agricultural land were flooded,
- about 1500 km of roads and about 1000 km of power transmission lines were damaged.

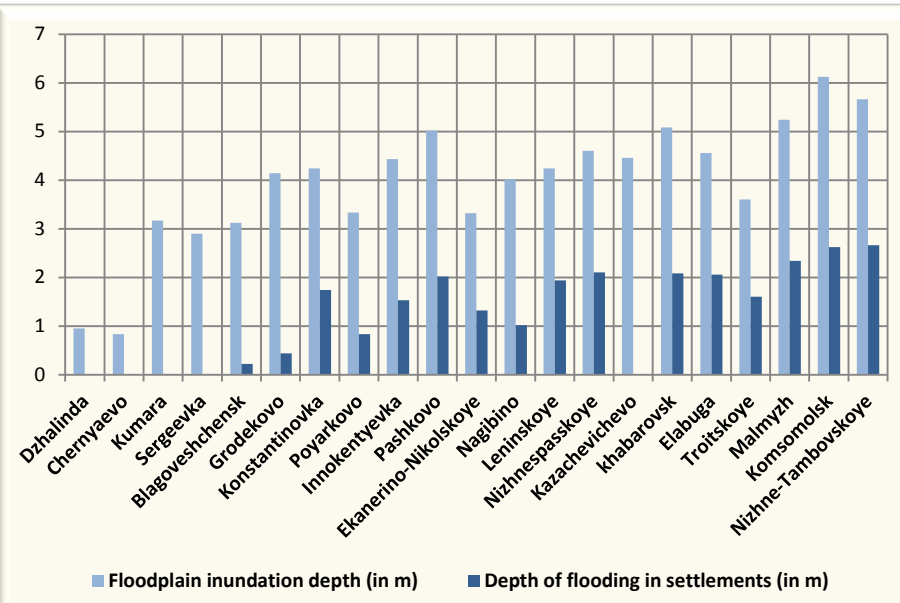
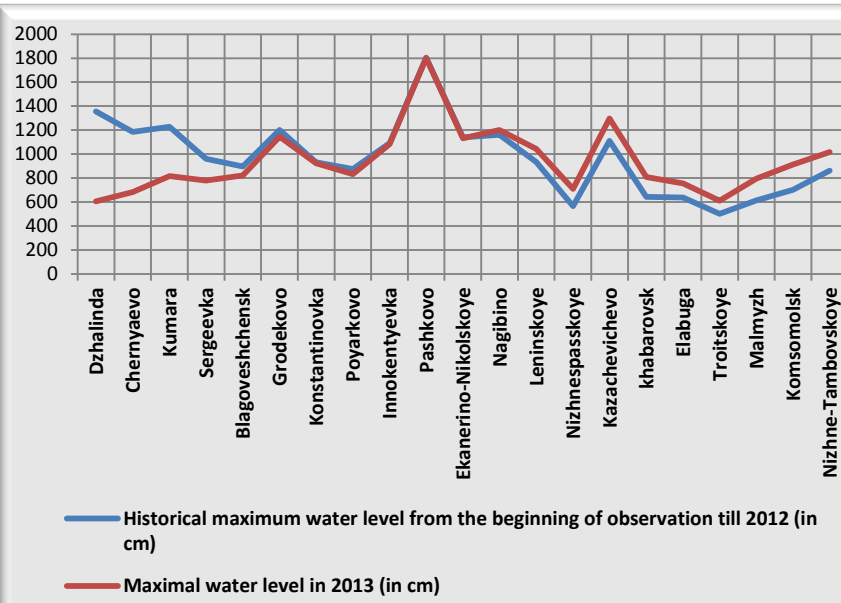
Large cities (Khabarovsk and Komsomolsk-on-Amur) suffered major flooding.

Thousands of houses were flooded; many of them are in no repair.

Tens of thousands of people were evacuated; many of them lost their homes and property.

Fortunately, there was no loss of life during the 2013 flooding in Russia.

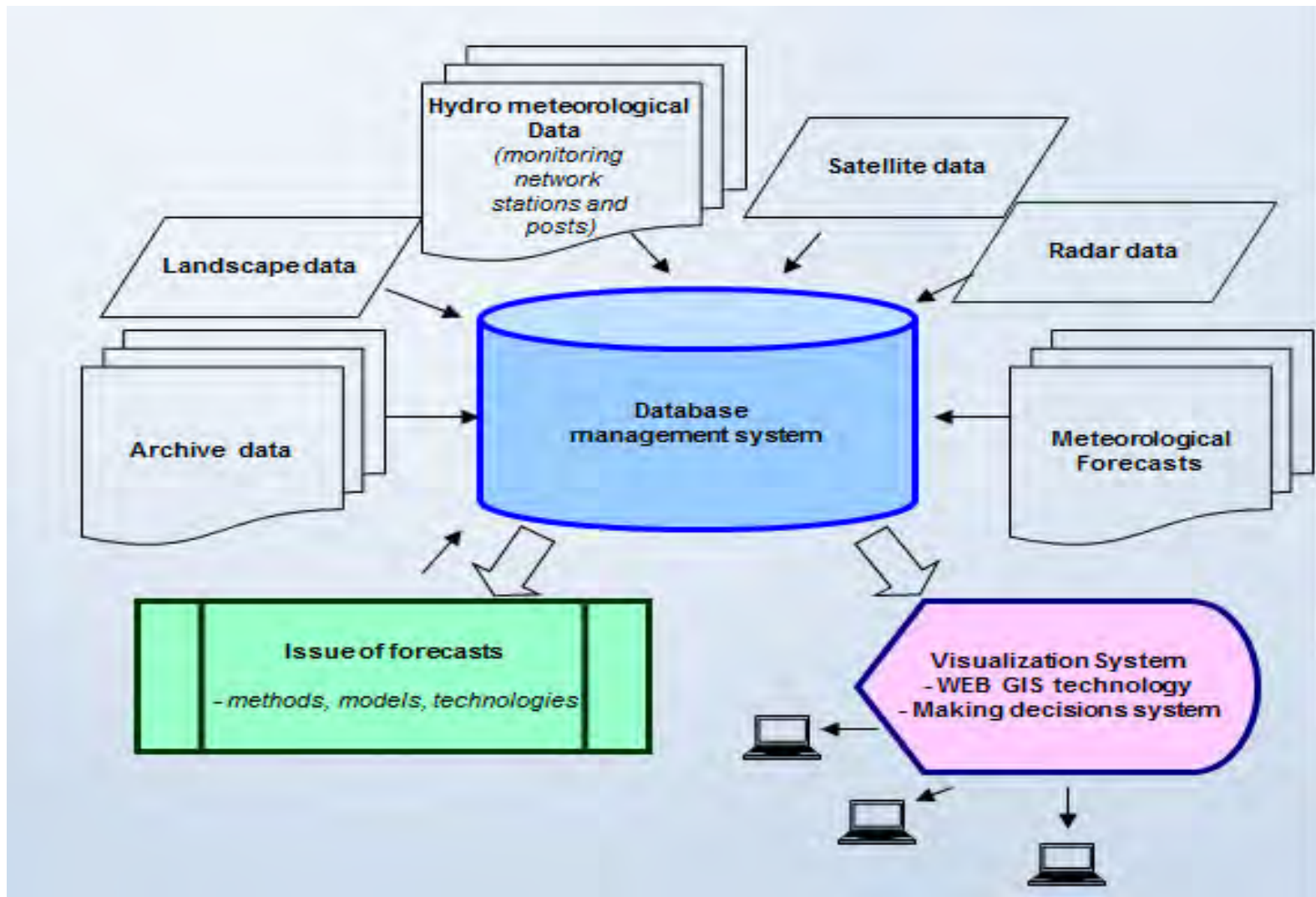
Unfortunately, loss of life was reported in China.



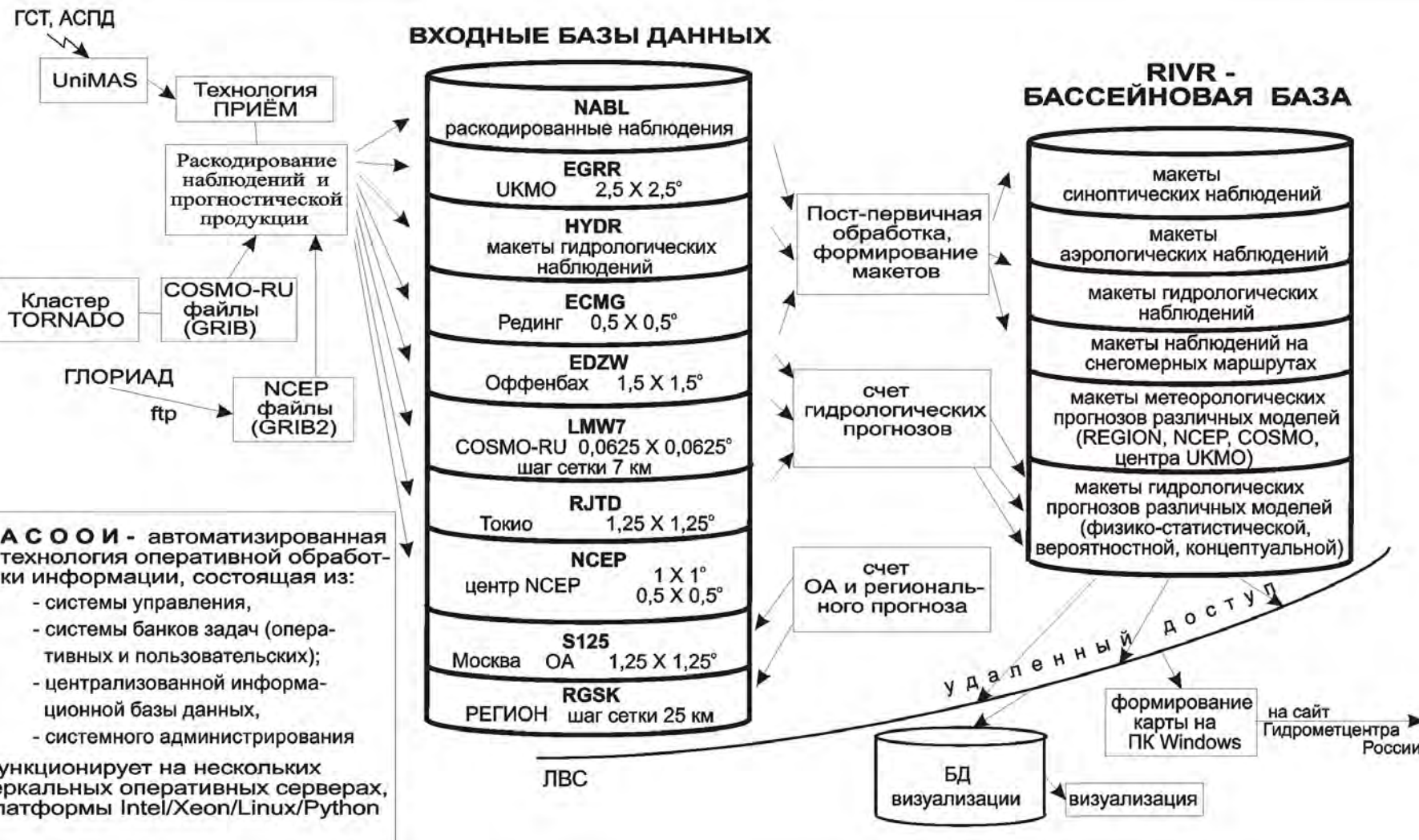
Forecasting system demand

1. River basin approach (data, forecasting techniques).
2. Hydrometeorological data (real-time mode).
3. Meteorological forecasts (a number of models – uncertainty accounting).
4. Hydrological forecast (rivers stage, inflow into the Zea reservoir).
5. Comprehensive final products dissemination component.
6. Automatic mode - 24/7.

FFEWS “Amur”- overview



FFEWS "Amur" – informational subsystem



FFEWS “Amur” – data base content

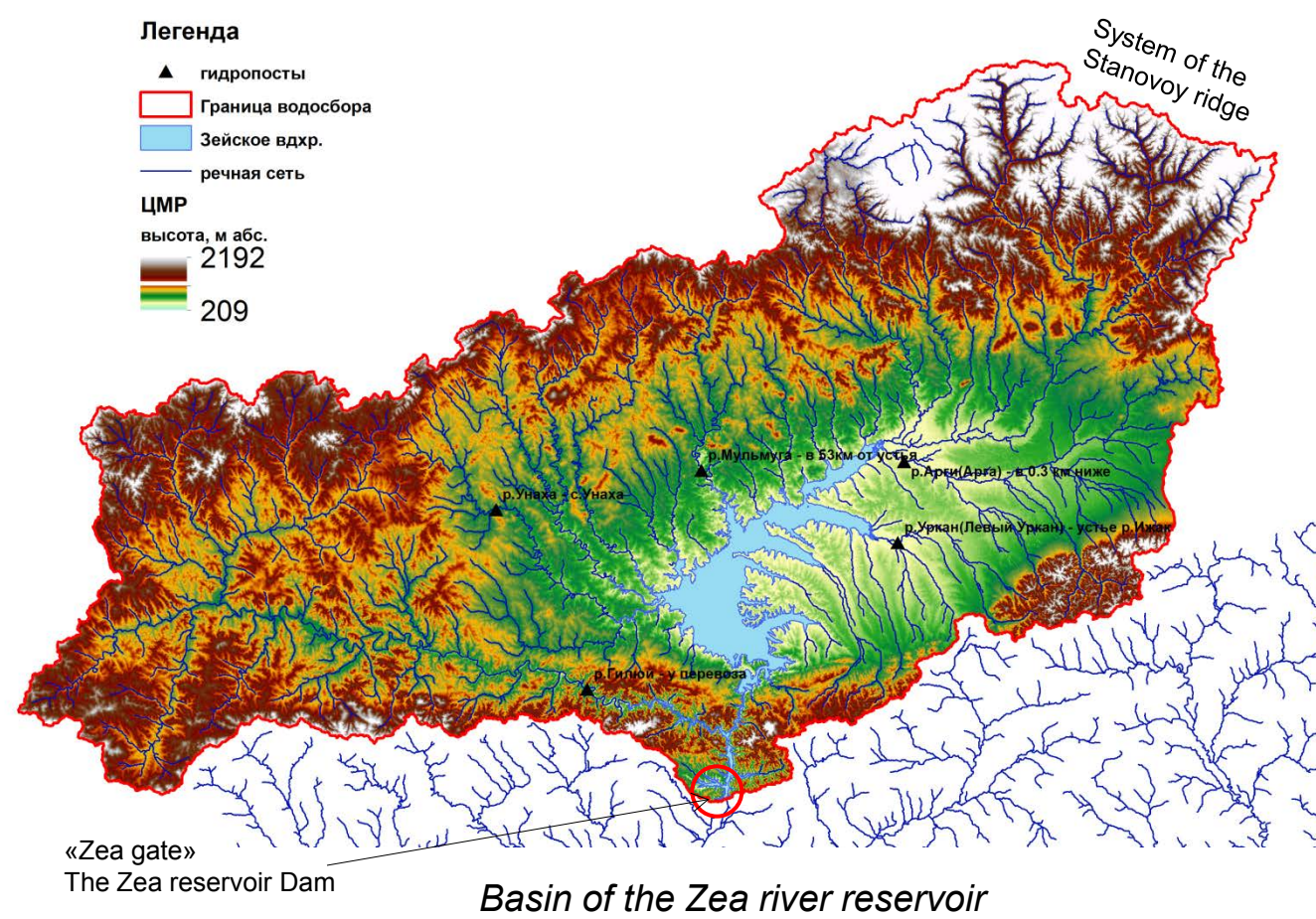
| № | Layout | Type | Size | Access parameters | | | | Description |
|----|----------|-------|-----------|-------------------|------|--------------------|----------------------|---------------------------|
| | | | | month | day | time, h | tau, h | |
| 1 | SYNSASIA | stat. | 18 x 1500 | 1-12 | 1-31 | 0-21, every 3 h | - | synoptic observations |
| 2 | HYDRASIA | stat. | 40 x 1500 | 1-12 | 1-31 | - | - | hydrological observations |
| 3 | CMFSASIA | cir. | 14 x 2500 | 1-12 | 1-31 | 0, 6, 12, 18 | 0-78, every 3 h | met. forecast COSMO |
| 3 | NCFSASIA | cir. | 14 x 2500 | 1-12 | 1-31 | 0, 6, 12, 18 | 0-120, every 3 h | met. forecast NCEP |
| 4 | UKFSASIA | cir. | 14 x 2500 | 1-12 | 1-31 | 0, 6, 12, 18 | 0-72, every 6 h | met. forecast UKMO |
| 5 | RJFSASIA | cir. | 14 x 2500 | 1-12 | 1-31 | 0, 6, 12, 18 | 0-78, every 3 h | met. forecast JMA |
| 6 | RESRASIA | cir. | 30 x 300 | 1-12 | 1-31 | - | - | reservoir observations |
| 7 | M4HYAMUR | cir. | 14 x 300 | 1-12 | 1-31 | 0, 12 | 0-168, every 24 h | river stage forecast |
| 8 | MHCMRESP | cir. | 14 x 300 | 1-12 | 1-31 | 0, 12 | 0-72, every 6 h | inflow forecast (COSMO) |
| 9 | MHNCRESP | cir. | 14 x 300 | 1-12 | 1-31 | 0, 12 | 0-72, every 6 h | inflow forecast (NCEP) |
| 10 | MHUKRESP | cir. | 14 x 300 | 1-12 | 1-31 | 0, 12 | 0-72, every 6 h | inflow forecast (UKMO) |
| 11 | MHRJRESP | cir. | 14 x 300 | 1-12 | 1-31 | 0, 12 | 0-72, every 6 h | inflow forecast (JMA) |

FFEWS “Amur”- reservoir inflow forecast

Легенда

- ▲ гидропосты
- Граница водосбора
- Зейское вдхр.
- речная сеть

ЦМР



$$A = 82\ 033 \text{ км}^2$$

Complex relief:

- сочетание плато, равнин, гор, гряд и увалов;
- обширная межгорная котловина, м/у системой Станового хребта и хребтов Тукурингра-Соктхан
- нижняя часть котловины – Верхне-Зеysкая равнина (занята болотами)

Relative runoff zoning:

- low runoff (3-6 л/с км²)
- moderate runoff (6-10 л/с км²)
- increased runoff (10-18 л/с км²)
- intense runoff (> 18 л/с км²)

Numerous tributaries:

- р. Гилой (545 км)
- р. Арги
- pp. Мульмуга, Уркан, Унаха и др.

FFEWS “Amur” – Zea rivers hydrologic regime

Precipitation:

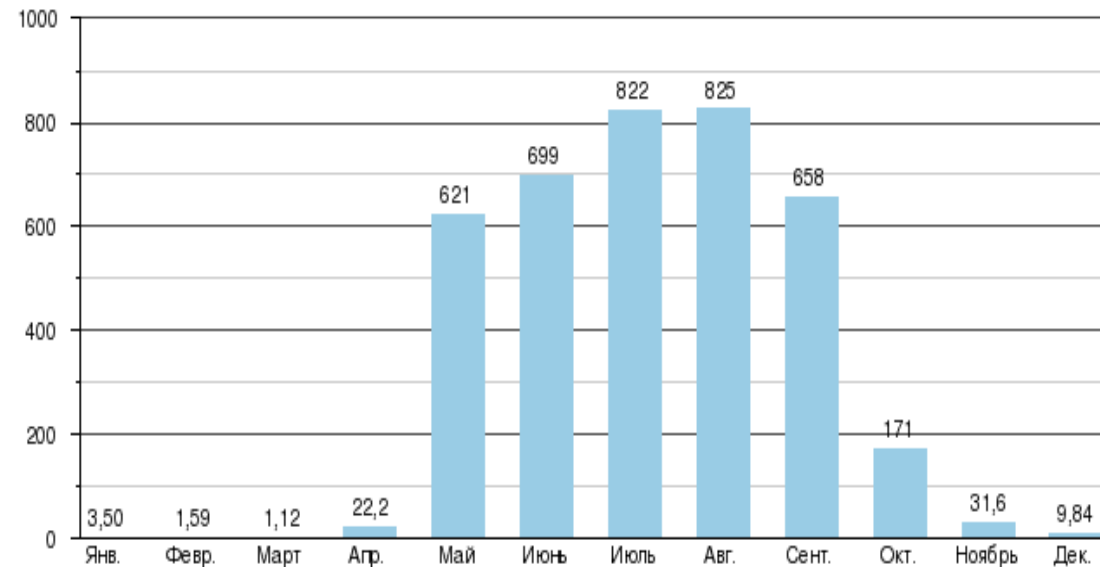
- annual value: 900 – 1000 mm
- summer maximal:
June – august – up to 70% of annual value

Snow cover:

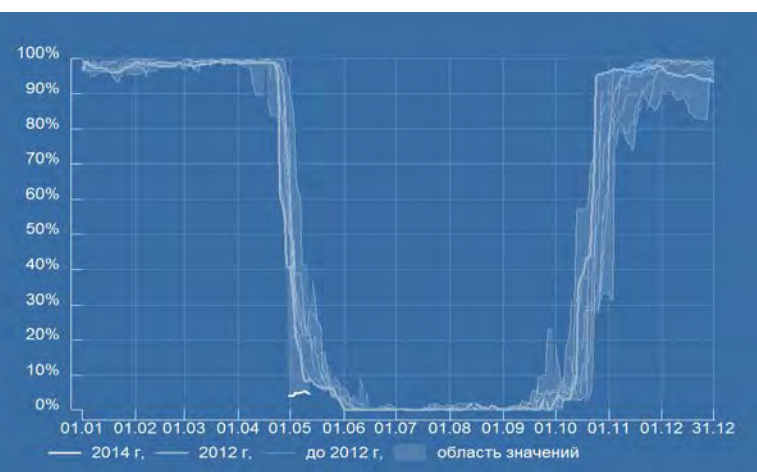
- средние многолетние значения 70-90 мм
- на высотах более 1500 м 300-500 мм
- начало снеготаяния – середина апреля
- конец снеготаяния – конец мая

Hydrologic regime features:

- spring-flood (20-30 days)
- intensive summer flood
- low flow during winter
- runoff coefficient (> 0.6)



*Average hydrograph at Zea – Bomnak
(upper reach)*



*Snow cover dynamics of the Zea
watershed (2004-2012)*

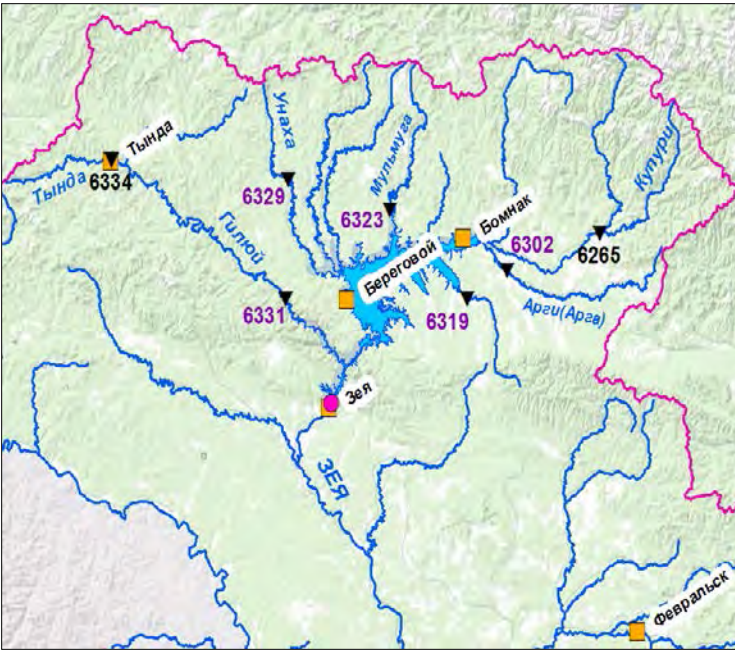
FFEWS “Amur” – inflow forecasting

MATHEMATIC MODEL OF FLOW FORMATION ON THE WATERSHED (by Burakov D.A.)

- water balance calculation on every elevation zone of the watershed;
- sub models of snow melt, melt and rain water formation, basin and river network routing

Lead time: 3 – 5 days (limited by meteorological forecast lead time)

Calculation period: from 1st May to October



Daily river stages (discharges) from 1st May

| Индекс | Название гидропоста |
|--------|---|
| 06265 | р.Зея - устье р.Купури(мет.ст.Локшак) |
| 06302 | р.Арги(Арга) - в 0.3 км ниже устья р.Амкан |
| 06319 | р.Уркан(Левый Уркан) - устье р.Ижак |
| 06323 | р.Мульмуга - в 53км от устья |
| 06329 | р.Унаха - с.Унаха |
| 06331 | р.Гилой - у перевоза |
| 06334 | р.Тында - г.Тында |

Daily temperature and precipitation from 1st May

| Индекс | Название метеостанции |
|--------|-----------------------|
| 31397 | Февральск |
| 31257 | Береговой |
| 31253 | Бомнак |
| 30499 | Тында |
| 31300 | Зея |

Факт
(с 1 мая по дату t
выпуска прогноза)

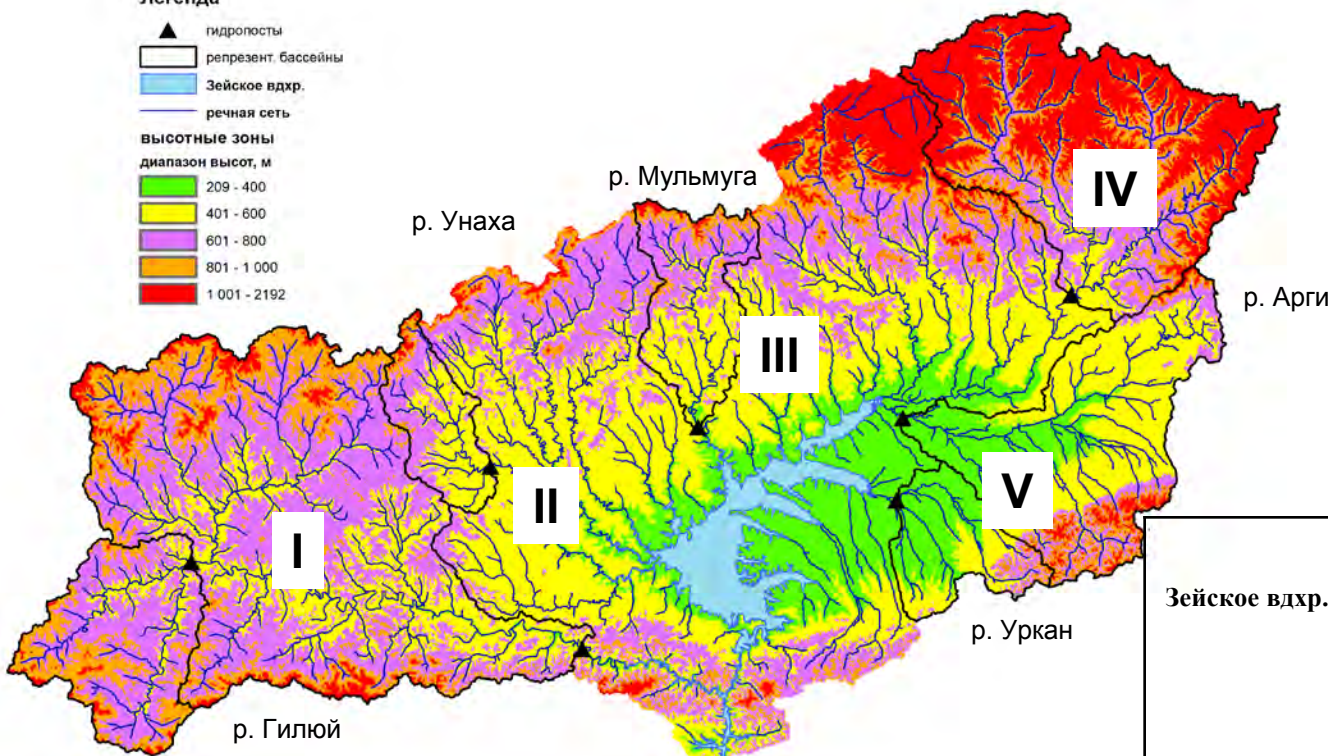
+ Прогноз
($t + \tau_1, \dots, t + \tau_{\max}$)

Snow water equivalent on 30th of April and Autumn soil moisture conditions

The Zea reservoir's basin schematization

Легенда

| | |
|----------------------|---------------------|
| ▲ | гидропорты |
| ■ | репрезент. бассейны |
| ■ | Зейское вдхр. |
| — | речная сеть |
| высотные зоны | |
| диапазон высот, м | |
| ■ | 209 - 400 |
| ■ | 401 - 600 |
| ■ | 601 - 800 |
| ■ | 801 - 1 000 |
| ■ | 1 001 - 2192 |



Accounting for runoff formation types – picking up geographic-hydrologic regions and elevation zoning

| Зейское вдхр. | Площадь | | Нми н, м | Нср, м | Нмк с, м |
|-------------------------------|-----------------|-------|-------------|-----------|-------------|
| | км ² | % | | | |
| | 82033 | 100 | 209 | 651 | 2191 |
| <i>Высотные зоны бассейна</i> | | | | | |
| 209 - 400 м | 12875 | 15.7 | 209 | 346 | 399 |
| 400 - 600 м | 28196 | 34.37 | 400 | 502 | 599 |
| 600 - 800 м | 22050 | 26.88 | 600 | 687 | 799 |
| 800 - 1000 м | 10139 | 12.36 | 800 | 888 | 999 |
| 1000 - 2192 м | 8771 | 10.69 | 1000 | 1211 | 2191 |

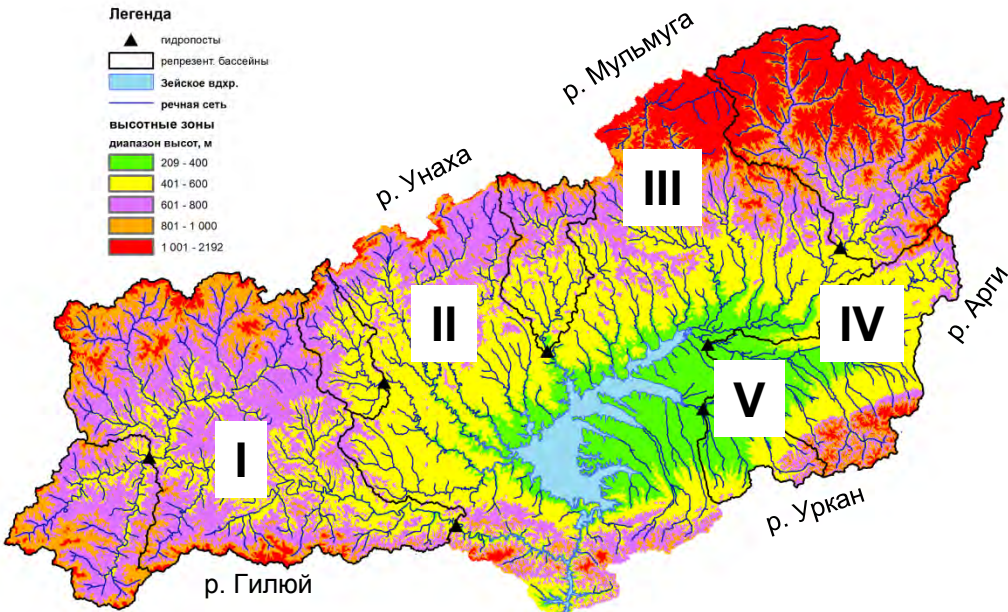
Inflow calculation into the Zea reservoir

Легенда

- гидропости
- репрезент. бассейны
- Зеиское вдхр.
- речная сеть

высотные зоны

| | |
|-------------------|--|
| диапазон высот, м | |
| 209 - 400 | |
| 401 - 600 | |
| 601 - 800 | |
| 801 - 1 000 | |
| 1 001 - 2192 | |



Районы и реки-аналоги для расчета притока

| <i>Nº</i> | <i>Бассейн- аналог</i> | | <i>Ki</i> |
|-----------|---------------------------------------|------------|-----------|
| I | р.Гилой – у перевоза | <i>Qa1</i> | 1,093 |
| II | р.Унаха – с. Унаха | <i>Qa2</i> | 6,867 |
| III | р.Мульмуга – 53 км от устья | <i>Qa3</i> | 5,616 |
| IV | р.Арги (Арга) – 0,3 км от устья | <i>Qa4</i> | 3,077 |
| V | р.Уркан (Левый Уркан) – устье р. Ижак | <i>Qa5</i> | 4,116 |

Hydrometric method of inflow calculation:

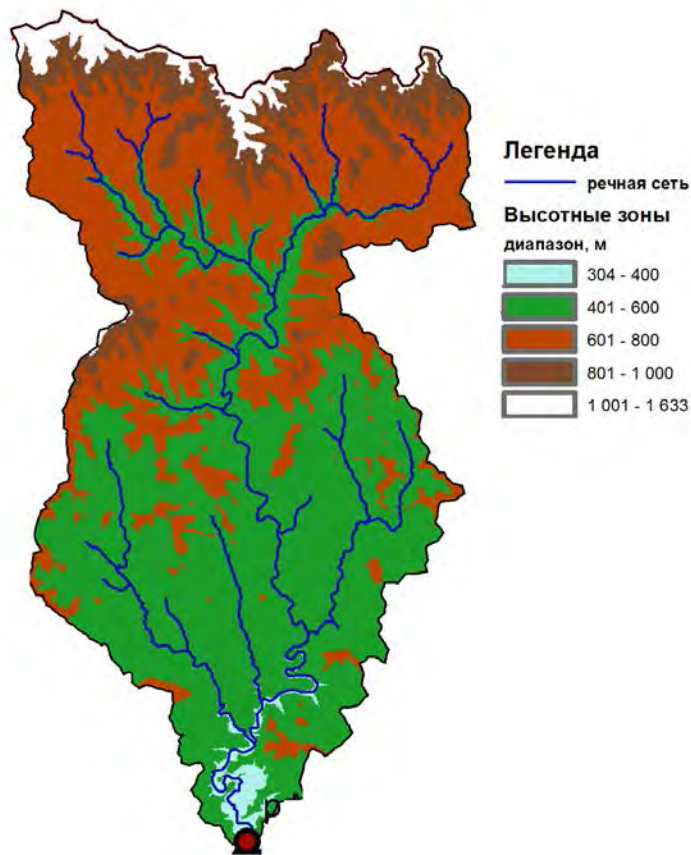
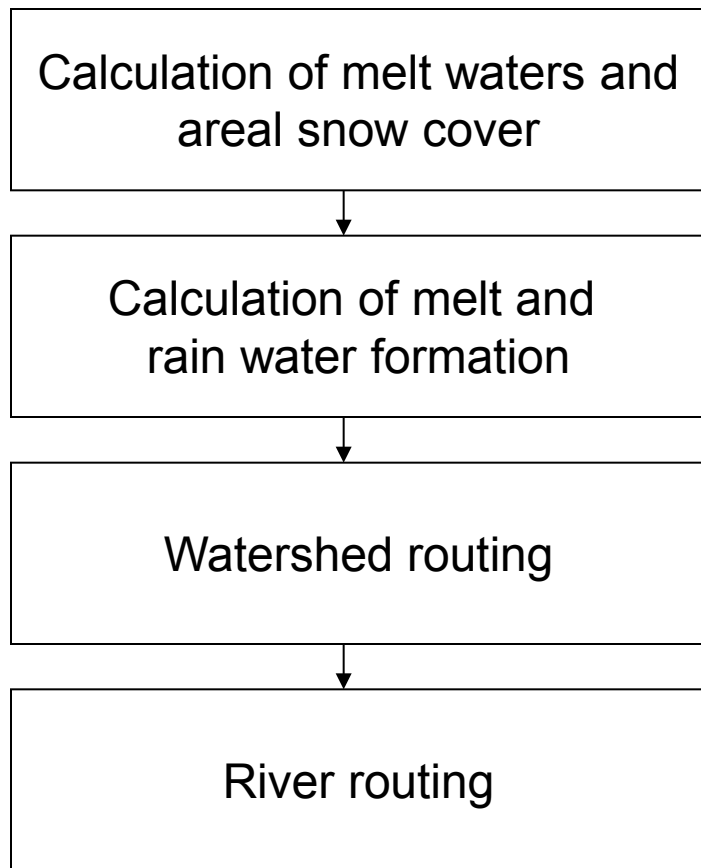
$$Q_b(t) = \sum_{i=1}^5 Q_{ai}(t) \times K_i \quad Q_{ai}(t) \text{ - среднесуточный расход воды бассейна-реки аналога}$$

$$K_i = \frac{F_i}{F_{ai}} \text{ - коэффициент стоковой приводки}$$

Учет времени добегания притока воды с бассейнов рек аналогов

$$Q_b(t) = 3.08Q_{a4}(t) + 4.11Q_{a5}(t) + 3.37Q_{a3}(t) + 2.25Q_{a3}(t-1) + 3.43Q_{a2}(t) + 3.43Q_2(t-1) + 0.54Q_{a1}(t) + 0.54Q_{a1}(t-1)$$

Hydrologic model main blocks



1. Бураков Д.А., Карепова Е.Д., Шайдуров В.В. Математическое моделирование стока: теоретические основы, современное состояние, перспективы // Вестник Крас. ГУ. – 2006. – № 4. – С. 3–19.
2. Бураков Д. А., Ковшова Е. П., Ромасько В. Ю. Прогноз элементов ледового режима р. Енисей в осенне-зимний период в нижних бьефах высоконапорных ГЭС. Метеорология и гидрология, № 5. 2008, с. 93-102.
3. Бураков Д. А., Гордеев И. Н., Ромасько В. Ю. Использование спутниковой информации для оценки динамики снегового покрытия в гидролого-математической модели стока весеннего половодья на примере бассейна Саяно-Шушенской ГЭС // Современные проблемы дистанционного зондирования Земли из космоса. – 2010. – Том 7 № 2. с. 113–121.

Forecasting technique features

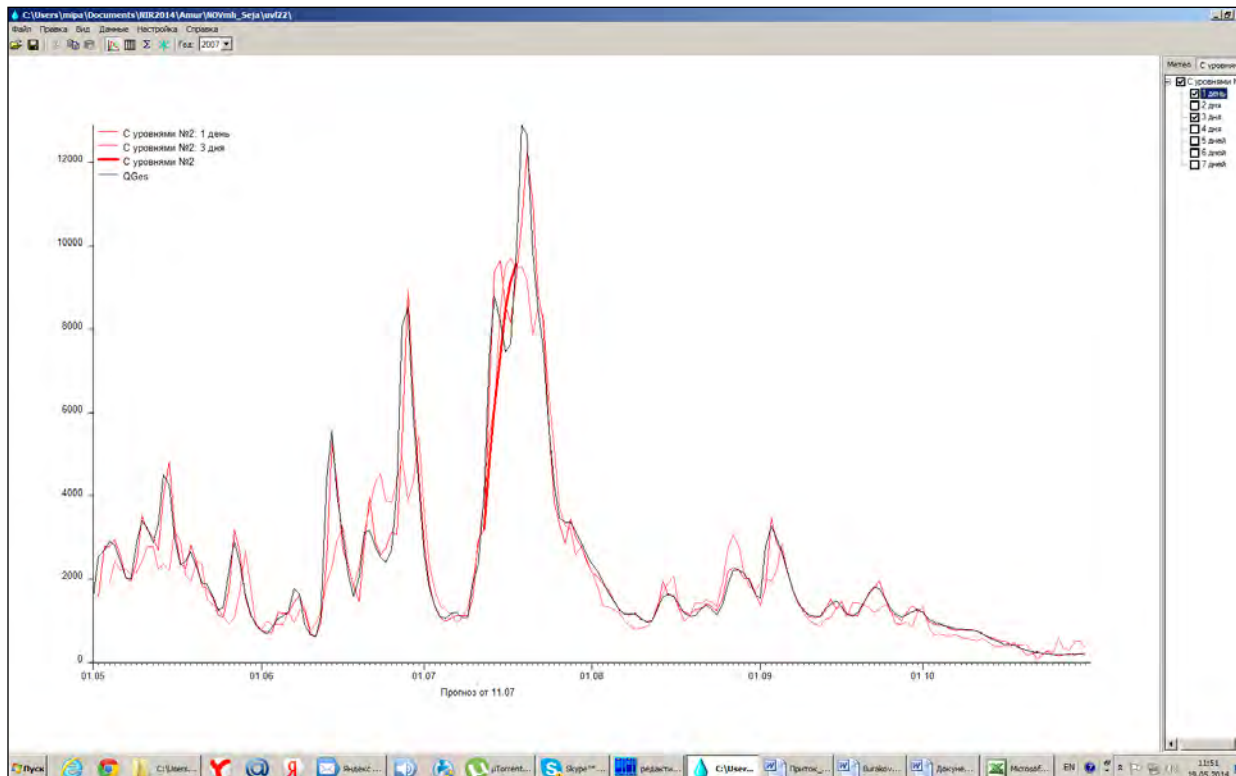
Forecasting method lead time – up to 7 days (daily time step)

Input data:

Initial conditions: hydrology, synoptic

Boundary conditions: meteorological forecast (T, P)

Effectiveness evaluation of the forecast technique



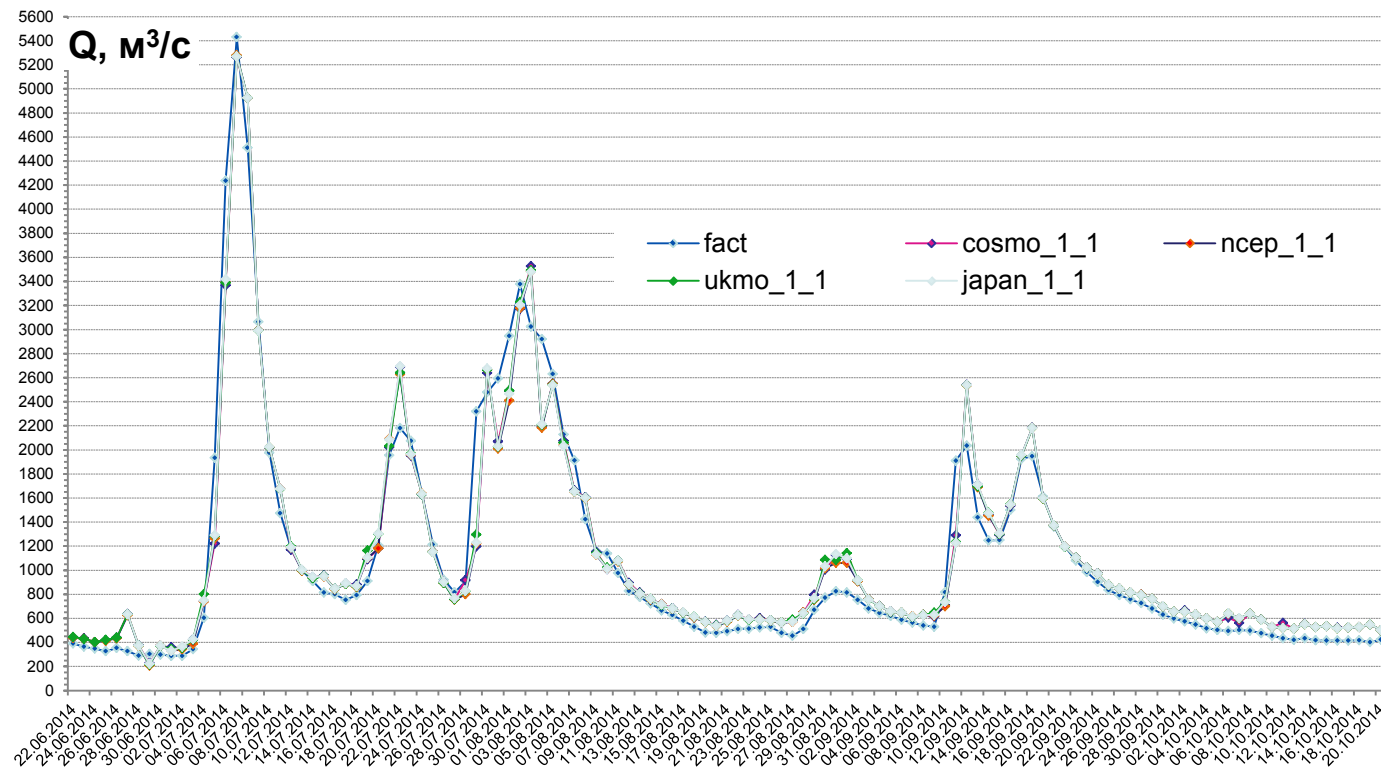
| τ , сут | S, м ³ /с | $\sigma\Delta$, м ³ /с | S / $\sigma\Delta$ |
|--------------|----------------------|------------------------------------|--------------------|
| 1 | 245 | 461 | 0,53 |
| 2 | 480 | 814 | 0,59 |
| 3 | 605 | 1042 | 0,58 |
| 4 | 664 | 1180 | 0,56 |
| 5 | 687 | 1259 | 0,54 |
| 6 | 695 | 1205 | 0,53 |
| 7 | 696 | 1334 | 0,52 |

Hindcast of inflow to the Zea river reservoir (2013 flood)

Meteorological forecast for the Zea watershed

| No | Model/ Center | Forecast center | Spatial resolution | Issue time, h (UTC) | Lead time, h (max / time step) |
|----|------------------|---|--------------------|------------------------|-----------------------------------|
| 1 | COSMO | Hydrometcentre of Russia | 13 km | 0, 6, 12, 18 | 72 / 3 |
| 2 | NCEP | National Centers for Environmental Predictions | 0,5° | 0, 6, 12, 18 | 240 / 6 |
| 3 | UKMO | UK Metoffice | 2,5° | 0, 12 | 120 / 6 |
| 4 | JMA | Japan Meteorological Agency | 0,1875° | 0, 12 | 72 / 6 |

Operational inflow forecast in July – October 2014, lead time – 1 day



Daily river stage forecasting

Main reach of the Amur river:

- gauge to gauge correlation with variable lead time;

$$H_H(t+\tau) = a_0 + a_1 H_B(t) + a_2 H_H(t)$$

H_B - верхний створ,

H_H - нижний створ,

τ - время добегания, a_i – коэффициенты, определяемые методом наименьших квадратов

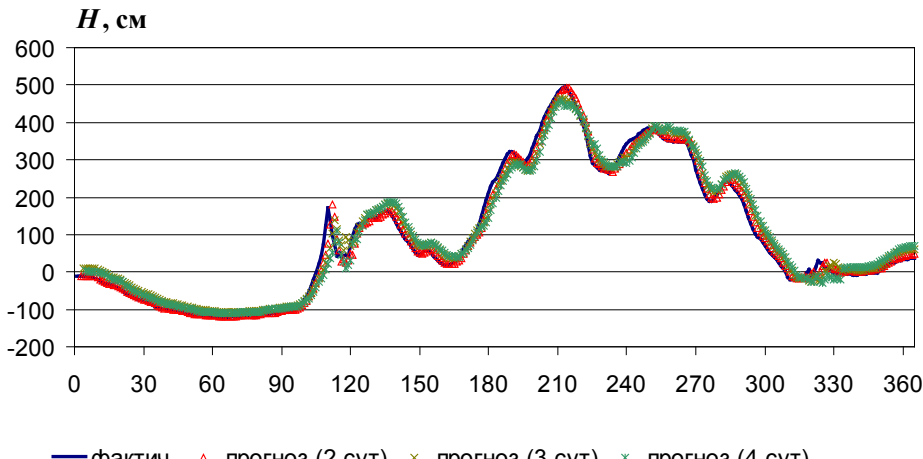
The Zea river (lower the Dam):

- gauge to gauge correlation with variable lead time;

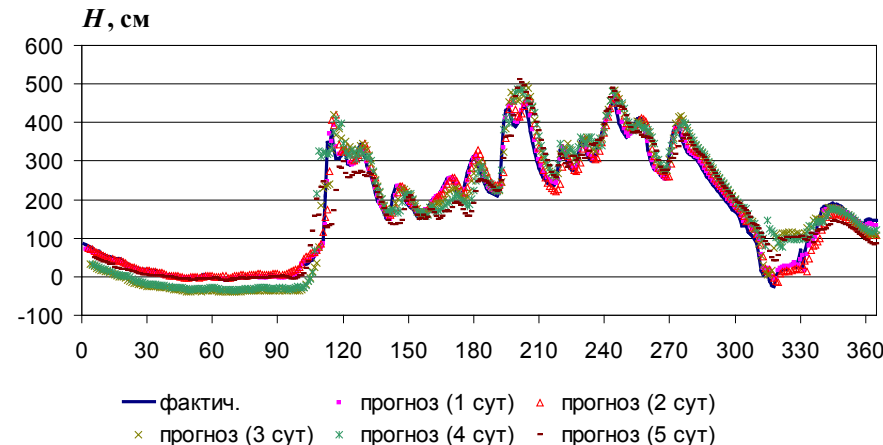
$$H_t = f(r_1 H_{B,t-1} + r_2 H_{B,t-2} + \dots + r_\tau H_{B,t-\tau})$$

$r(\tau)$ - функция трансформации (функция влияния)

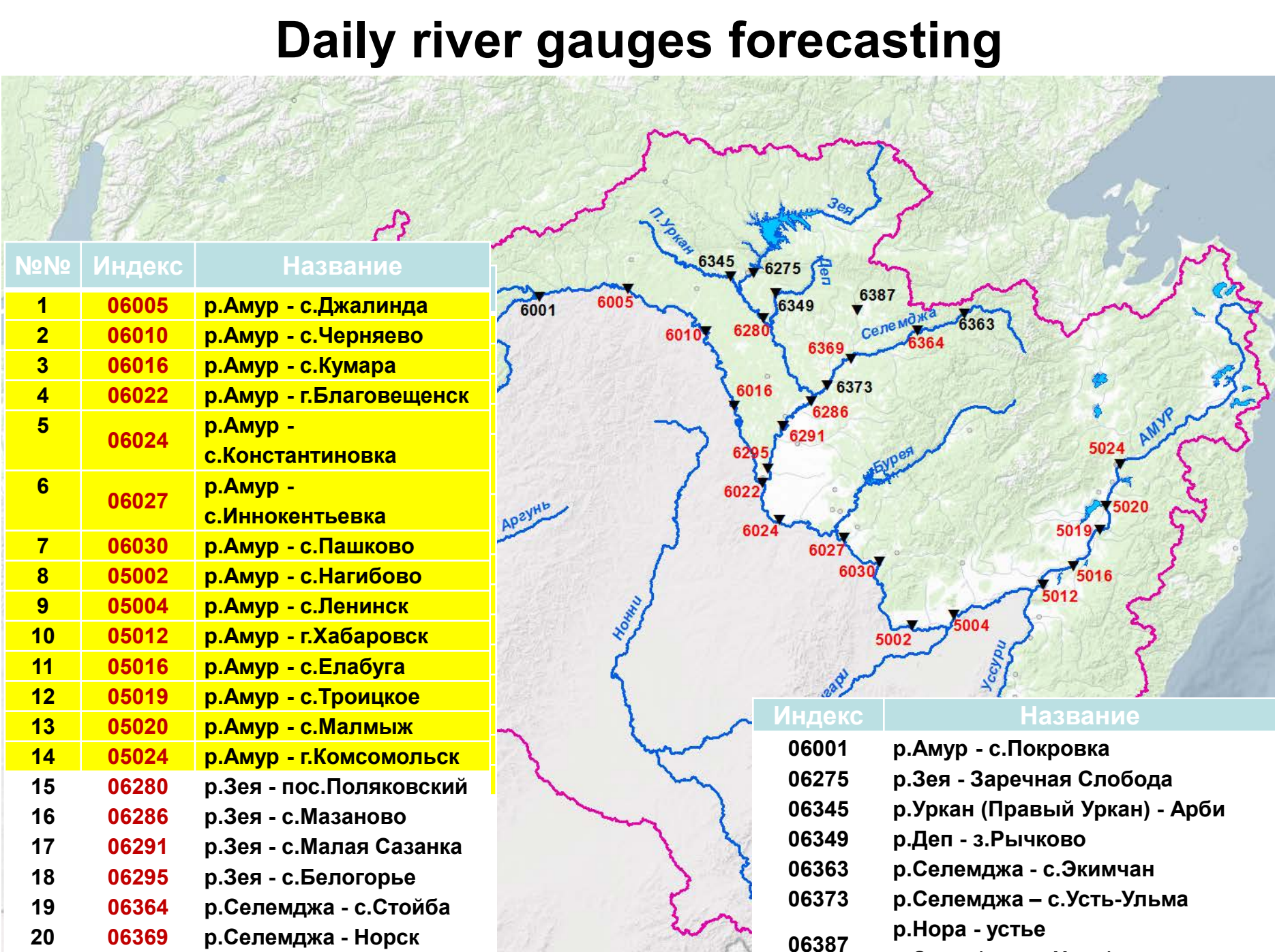
Хабаровск



Благовещенск



Daily river gauges forecasting



FFEWS “Amur” – subsystem of dissemination and visualization

***ArcGIS for Desktop 10.2.2
(ArcGIS Advanced for Desktop)***

Hydrometcentre of Russia

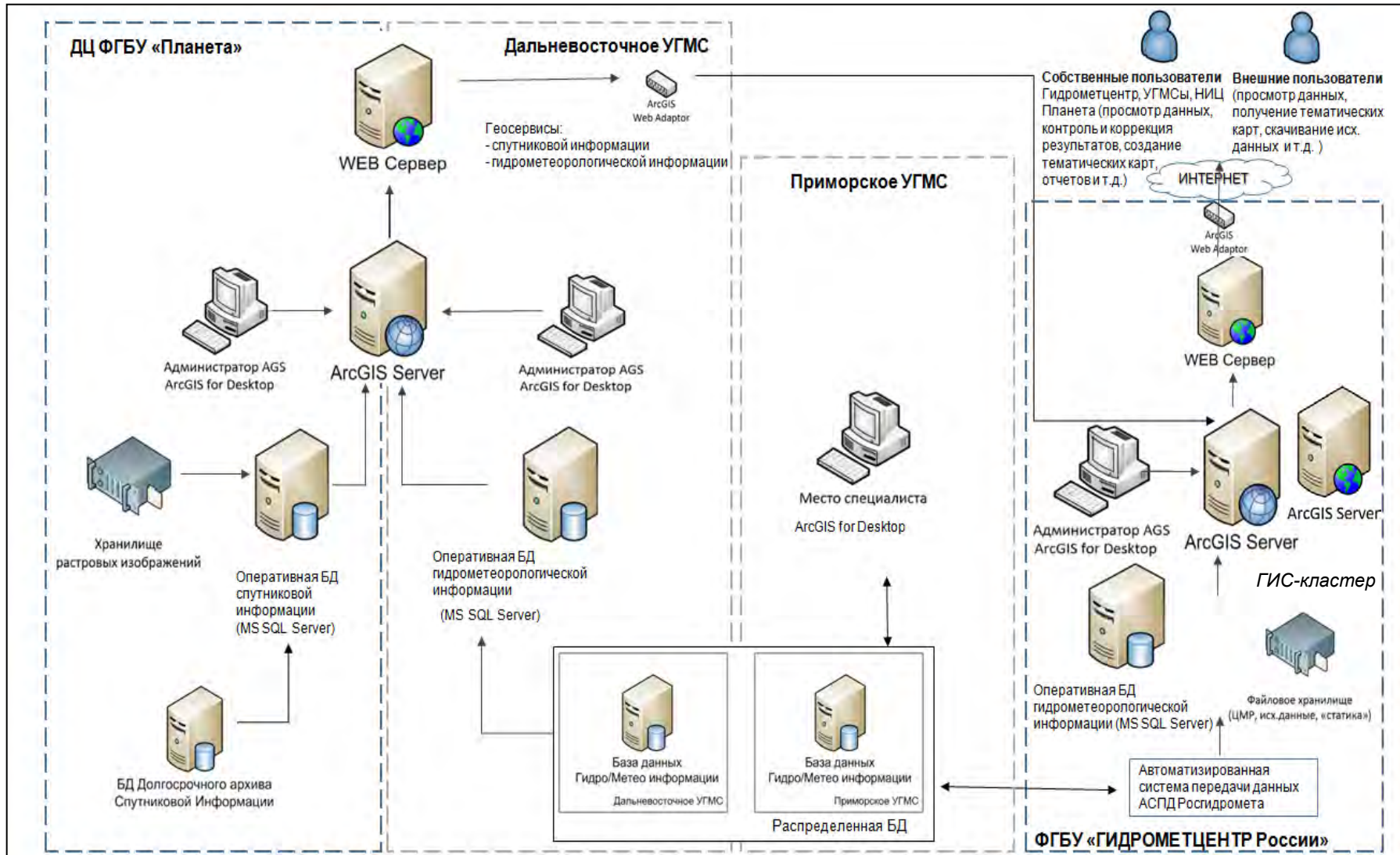
- Automatic hydrologic situation map production in PNG format (basins of the Kuban, Amur, North Caucasian shore of the Black sea)

***ArcGIS for Server
10.2.2
(ArcGIS for Server
Advanced)***

Hydrometcentre of Russia,
Space meteorology centre
“Planeta”

- web services of observed and forecasted products (Hydrometcentre of Russia) and satellite monitoring data (Space meteorology Center “Planeta”) for the Amur river basin
- <http://hydro.meteoinfo.ru/amur/>

Dissemination subsystem layout



GIS software and technical elements are operated in the Hydrometeorological Centre of Russia with “mirror”-copy in the Space meteorology Centre “Planet” (as a reserve)

Dissemination subsystem – data

2 types of data:

- real-time data from operational observation network of Roshydromet (hydrological measurements and forecasts at river gauges);
- constant information – features of river gauges, rivers, water river reservoirs (gauge or river code, name, reference water stage, critical water marks, ...).

Operational data:

- table **HydroElementValues_FACT** – daily river measurements on hydrologic network,
- table **HydroElementValues_PROGNOZ** – operational river stage forecasts,
- table **VdhrElementValues_FACT** – water river reservoir observations
- table **VdhrElementValues_PROGNOZ** – daily river reservoir inflow forecast.

Constant information:

- list of the river gauges on the Amur river and its tributaries with observations **HYDRO_POST**,
- list of the river gauges of the Amur river basin with forecast provision (**GES**).

Informational basis of the dissemination subsystem

Cartography:

- Multi-scale topographic maps of Russia (political-administrative units, populated areas, industrial objects, hydrological features, transport network, vegetation and etc.);
- Multi-scale maps ArcGIS on-line (ESRI and Open Street Map topographic maps, satellite imagery mosaics by Landsat/GeoEye/RapidEye, ESRI relief maps);
- Multi-scale map by BingMaps (topography, satellite imagery mosaics by Landsat/GeoEye/RapidEye, topographic–satellite data hybrid).

Real-time hydrometeorological data:

- River gauge observations;
- Synoptic stations observations;
- Hydrological forecasts;
- Meteorological forecasts;
- Satellite imagery and its processes results (inundation areas, snow cover areas, soil humidity and etc.)

FFEWS “Amur”— features of operations

- used software (*Shell, Python, Fortran, JavaScript, GIS*)
- operation system: *Linux (SUSE Linux Enterprise Server 11 SP2)*
- hardware: *Intel Xeon, 32 processors, E7-4830 CPU 2.13 Ghz, O3Y 256 GB, 11 TB*

Working schedule of FFEWS “Amur” (UTC)

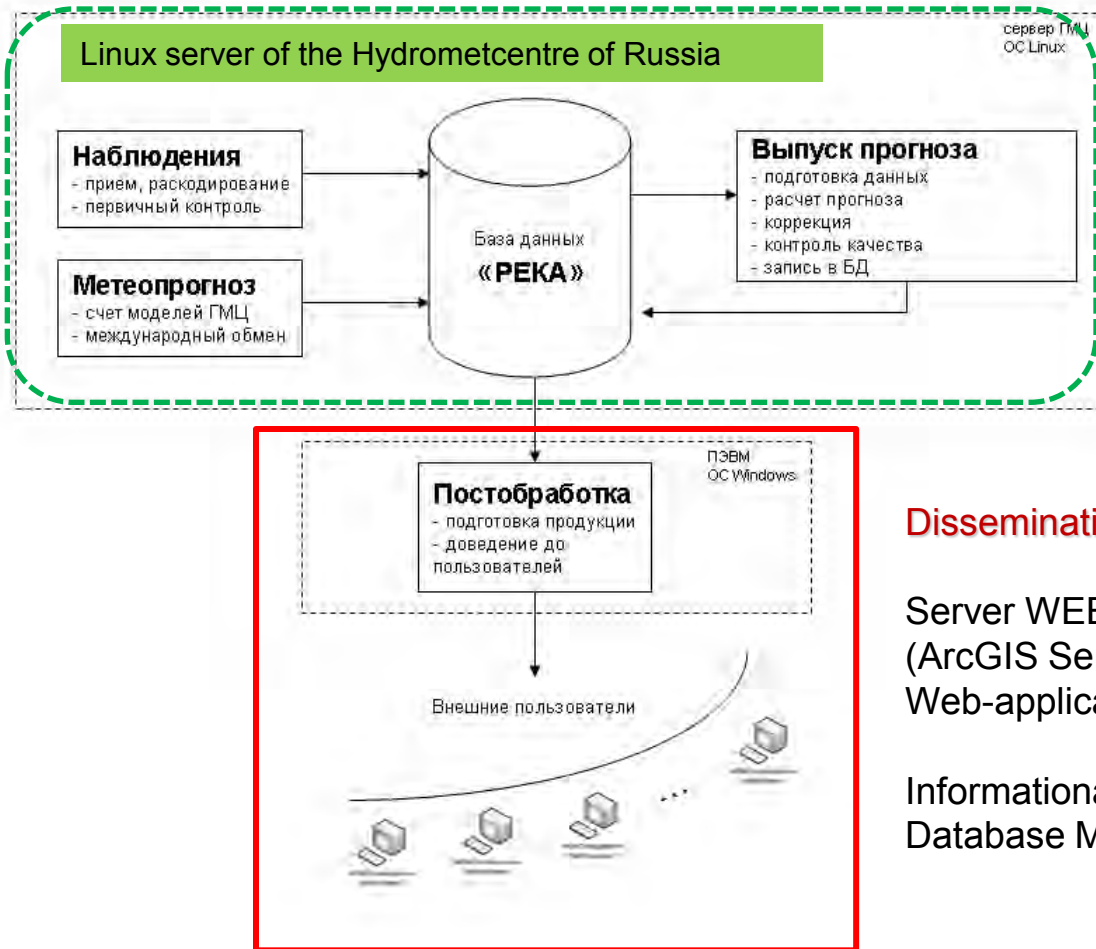
1–00 – observations gathering from the Amur river basin

1-36 – river stage forecast issue and dissemination

5-00 – meteorological forecast issue

5-36 – reservoir inflow forecast issue and dissemination

FFEWS “Amur” – features of operations



Software realization

Intel Xeon
32 processors E7-4830 CPU
2.13 GHz
RAM 256 GB
Memory 11 TB
OS SLES 11

Dissemination subsystem

Server WEB-GIS technologies
(ArcGIS Server,
Web-application JS)

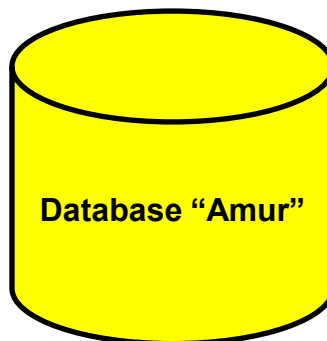
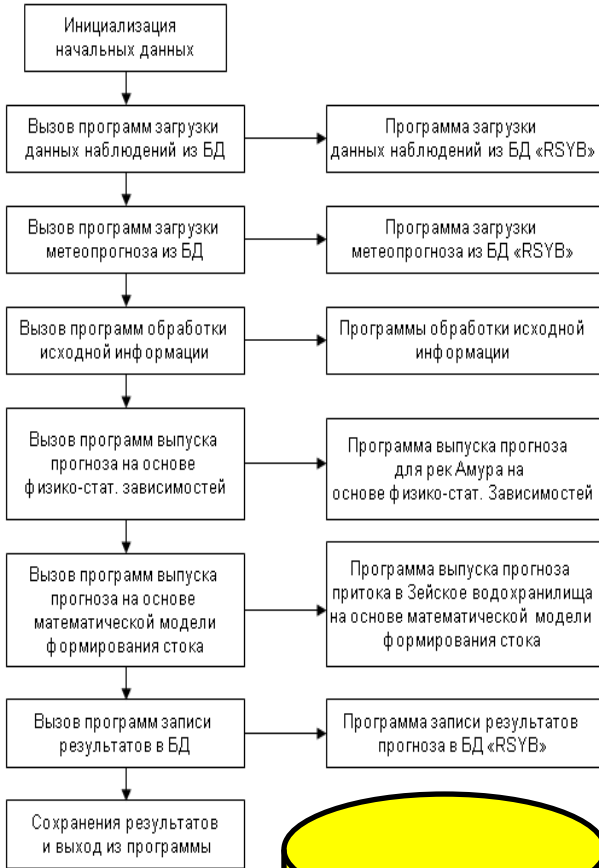
Informational basis:
Database MS SQL Server

FFEWS “Amur” had been developed and implemented in operational mode in the Hydrometeorological Research Centre of Russia since June 2014

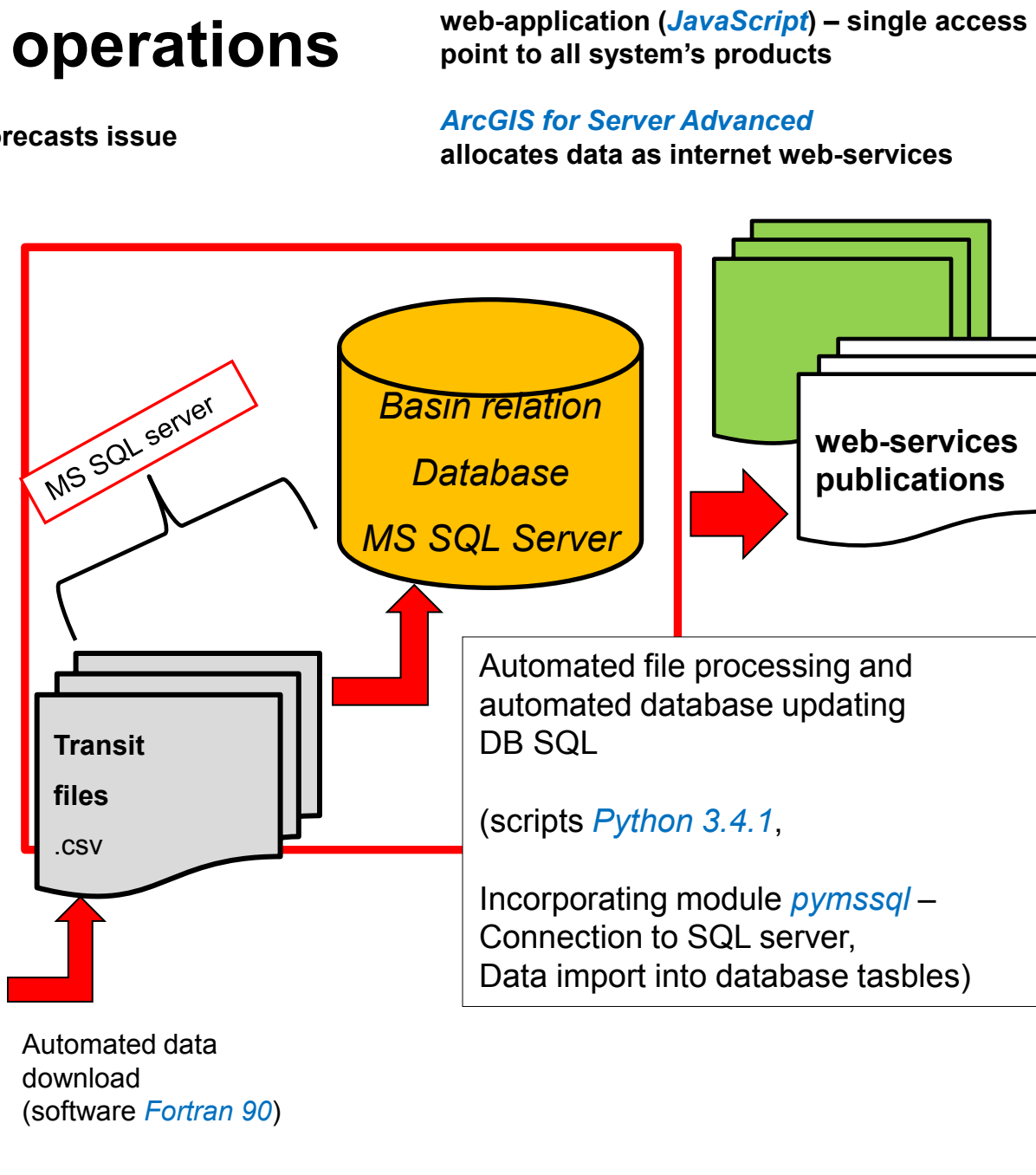
Procedures of operations

Script -scenario “Amur” ([Python 2.6](#))

Automatization scheme of short-range forecasts issue



Informational support of the forecast techniques



web-application ([JavaScript](#)) – single access point to all system's products

[ArcGIS for Server Advanced](#)
allocates data as internet web-services

Automated file processing and automated database updating DB SQL

(scripts [Python 3.4.1](#),

Incorporating module [pymssql](#) –
Connection to SQL server,
Data import into database tables)

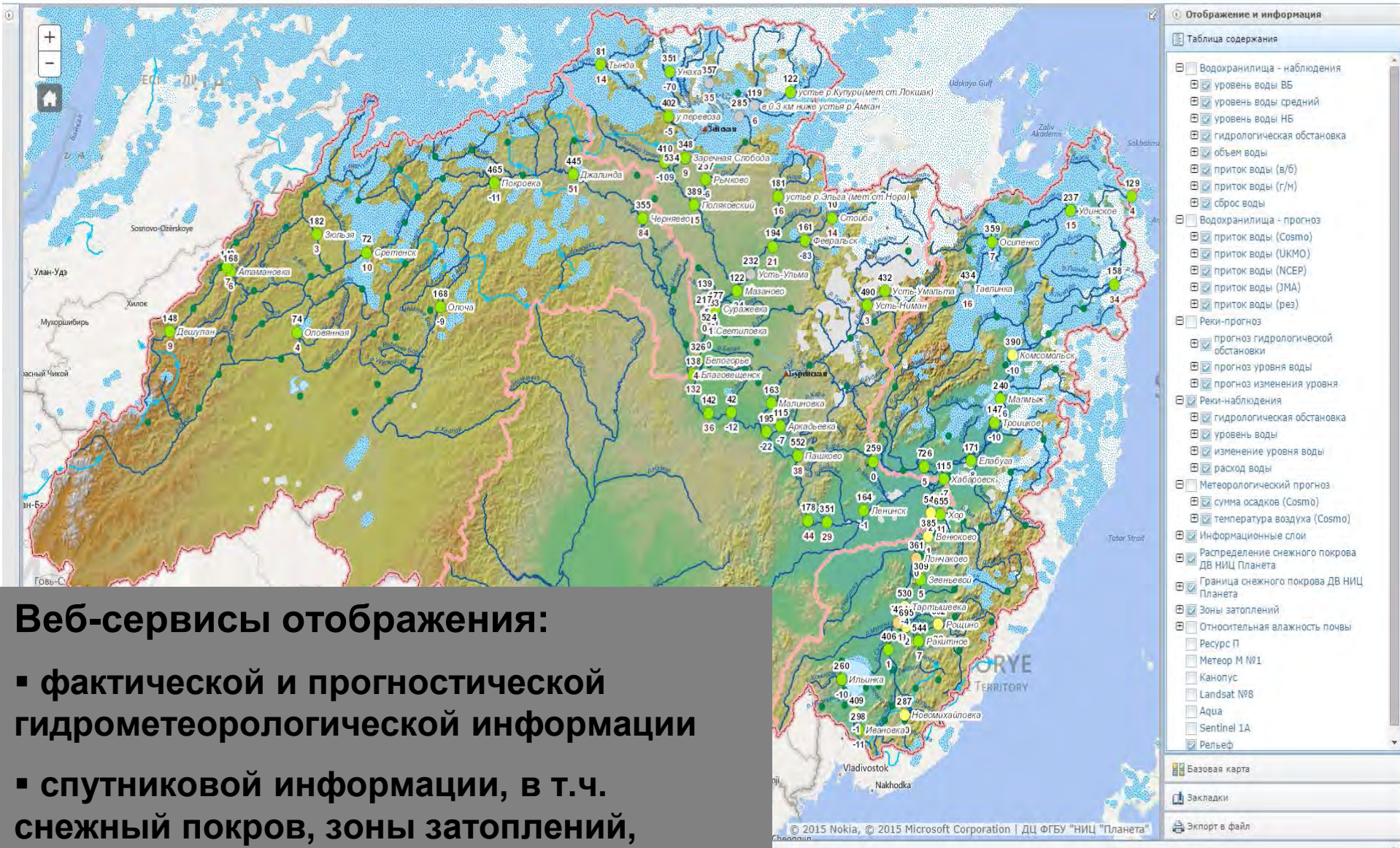
Web-services of FFEWS “Amur”



ГИС “АМУР”
Наблюдения, анализ и прогноз паводков



Дата наблюдений: 29 апреля 2015 года



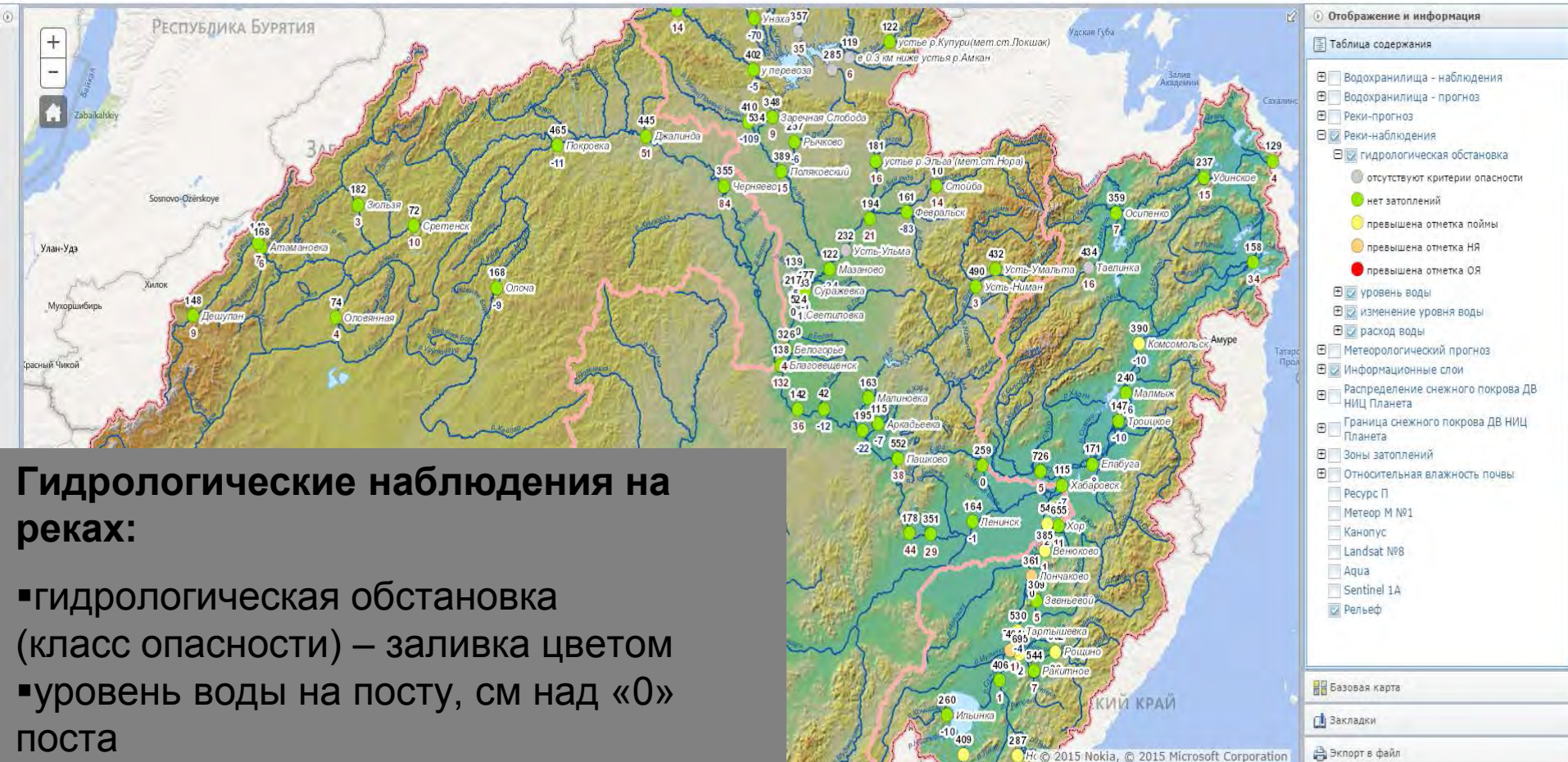
Web-services of hydrologic observations



ГИС “АМУР”
Наблюдения, анализ и прогноз паводков



Дата наблюдений: 29 апреля 2015 года



| Идентификатор | Уровень воды, см | Дата и время | Код поста | Название | Полное название | Принадлежность к УГМС | Принадлежность к реке | Код субъекта РФ | Код бассейна | <Приблизить> |
|---------------|------------------|---------------------|-----------|--------------|-------------------------|-----------------------|-----------------------|-----------------|--------------|-------------------|
| 96933 | 163 | 29.04.2015 08:00:00 | 6473 | Малиновка | р.Бурея - с.Малиновка | Дальневосточное | Бурея | 10000000 | 2 | Показать на карте |
| 96762 | 2 | 29.04.2015 08:00:00 | 5020 | Малмыж | р.Амур - с.Малмыж | Дальневосточное | Амур | 08000000 | 3 | Показать на карте |
| 96814 | 138 | 29.04.2015 08:00:00 | 6022 | Благовещенск | р.Амур - г.Благовещенск | Дальневосточное | Амур | 10000000 | 1 | Показать на карте |
| 96852 | 326 | 29.04.2015 08:00:00 | 6295 | Белогорье | р.Зея - с.Белогорье | Дальневосточное | Зея | 10000000 | 2 | Показать на карте |
| 96766 | 390 | 29.04.2015 08:00:00 | 5024 | Комсомольск | р.Амур - г.Комсомольск | Дальневосточное | Амур | 08000000 | 3 | Показать на карте |
| 97211 | 74 | 29.04.2015 08:00:00 | 6084 | Оловянная | р.Онон - с.Оловянная | Забайкальское | Онон | 76000000 | 1 | Показать на карте |
| 97215 | 148 | 29.04.2015 08:00:00 | 6133 | Дешулан | р.Ингода - с.Дешулан | Забайкальское | Ингода | 76000000 | 1 | Показать на карте |
| 96918 | 524 | 29.04.2015 08:00:00 | 6424 | Светиловка | р.Томь - с.Светиловка | Дальневосточное | Томь | 10000000 | 2 | Показать на карте |

Web-services of hydrological forecasts



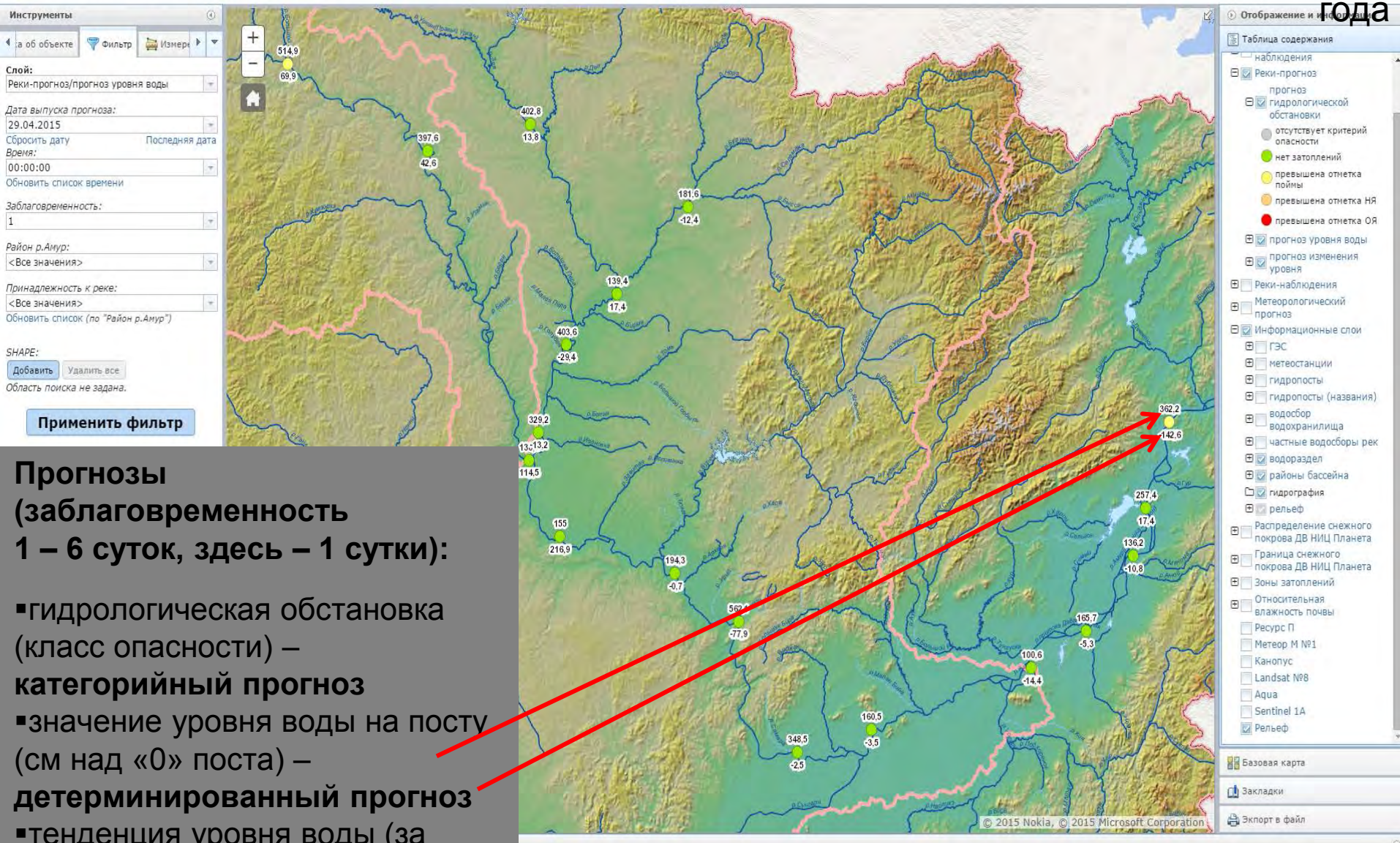
ГИС "АМУР"

Наблюдения, анализ и прогноз паводков



Дата выпуска прогноза: 29 апреля 2015

года



Joined hydrograph: observations and forecast



ГИС “АМУР”

Наблюдения, анализ и прогноз паводков



Инструменты

Справка об объекте



Фильтр



Измерения

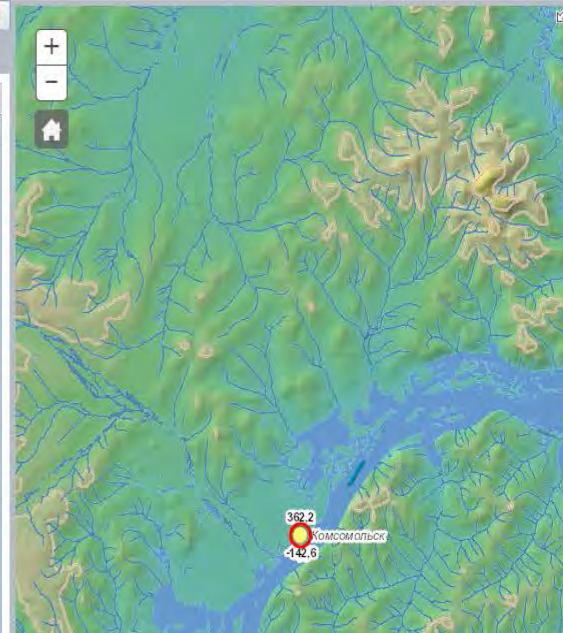
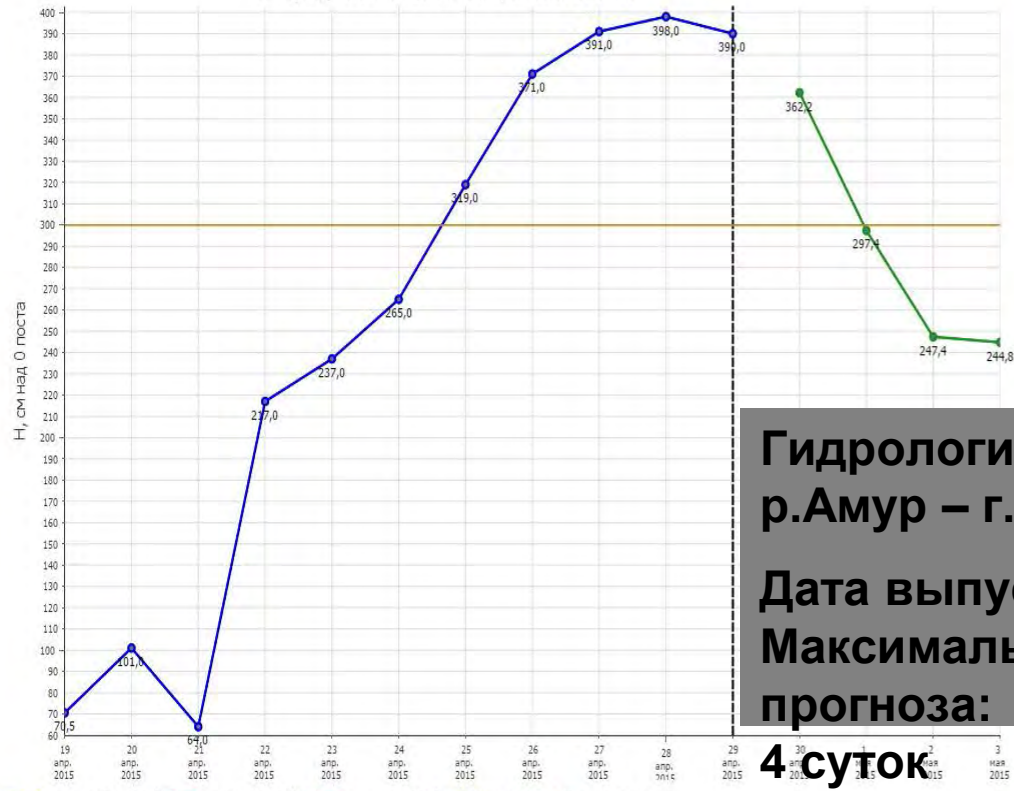


Графики

Параметры

Графики

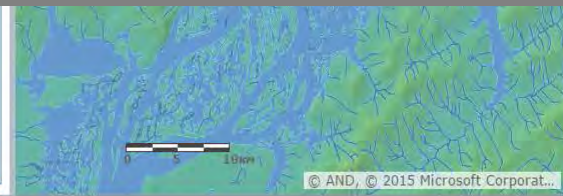
Гидрограф наблюденного уровня воды с поста Комсомольск (5024) за период 19.04.15 - 29.04.15 и прогноз от 29.04.15



Гидрологический пост
р.Амур – г.Комсомольск (индекс 5024)

Дата выпуска прогноза: 29 апреля 2015 г.
Максимальная заблаговременность
прогноза:

4 суток



Сплошная **синяя линия** – фактические уровни воды,
сплошная **зеленая линия** – прогнозируемые уровни воды

- Отображение и информация
- Таблица содержания
- Водохранилища - прогноз
 - Водохранилища - наблюдения
 - Реки-прогноз
 - прогноз гидрологической обстановки
 - прогноз уровня воды
 - прогноз изменения уровня
 - Реки-наблюдения
 - Метеорологический прогноз
 - Информационные слои
 - Распределение снежного покрова ДВ НИЦ Планета
 - Граница снежного покрова ДВ НИЦ Планета
 - Зоны затоплений
 - Относительная влажность почвы
 - Ресурс П
 - Метеор М №1
 - Канопус
 - Landsat №8
 - Aqua
 - Sentinel 1A
 - Рельеф

Web-services Zea reservoir data

ГИС "АМУР"
Наблюдения, анализ и прогноз паводков



Дата наблюдений: 29 апреля 2015 года

Общий приток воды и сброс воды –
средние за предшествующие сутки

**Сброс воды из вдхр.,
м³/с (водный баланс)**

**Общий приток
воды к вдхр.,
м³/с (водный баланс)**

**Общий приток
воды к вдхр.,
м³/с
(гидрометрический
метод расчета)**

Класс опасности –
заливка цветом

УМО 299 м БС
НПУ 315 м БС

Уровень на
29.04.15:
308,43 м БС

Уровень воды ВЬ, см

Уровень воды НБ, см

Объем воды в вдхр.,
млн м³ (водный баланс)

Уровень воды средний, см

- Отображение и информация
 - Таблица содержания
 - Водохранилища - прогноз
 - Водохранилища - наблюдения
 - уровень воды ВБ
 - уровень воды средний
 - уровень воды НБ
 - гидрологическая обстановка
 - уровень в нормальном диапазоне
 - уровень ниже УМО
 - уровень выше НПУ
 - объем воды
 - приток воды (в/б)
 - приток воды (г/м)
 - сброс воды
 - Реки-прогноз
 - Реки-наблюдения
 - Метеорологический прогноз
 - Информационные слои
 - ГЭС
 - метеостанции
 - гидропосты
 - гидропосты (названия)
 - водосбор водохранилища
 - частные водосборы рек
 - водораздел
 - районы бассейна
 - гидрография
 - рельеф
 - Распределение снежного покрова ДВ НИЦ Планета
 - Граница снежного покрова ДВ НИЦ Планета
 - Зоны затоплений
 - Относительная влажность почвы
 - Ресурс П
- Базовая карта
- Закладки
- Экпорт в файл

Web-services of satellite data

- спутниковые изображения «Метеор-М» №1, «Канопус-В», Ресурс-П, TERRA/AQUA , LANDSAT-8;
- карты зон затопления;
- карты границы снежного покрова ежесуточные, композит за 5 дней;
- карты характеристик снежного покрова;
- карты влажности поверхностного слоя почвы, рассчитанные по данным спутников МЕТОР-А и МЕТОР-В (A



ГИС “АМУР”

Наблюдения, анализ и прогноз паводков



Относительная влажность почвы

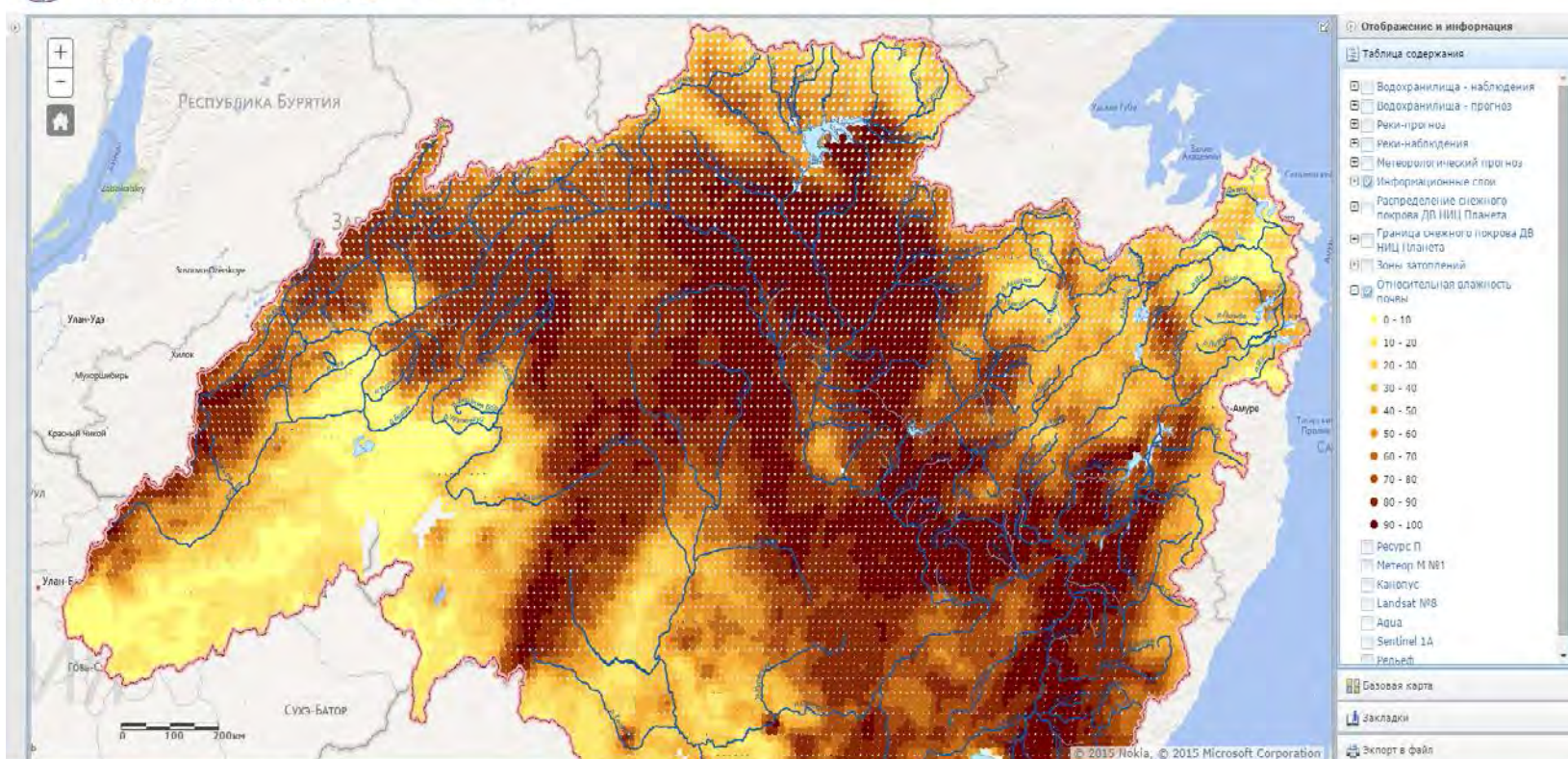


Таблица слоя "Относительная влажность почвы"

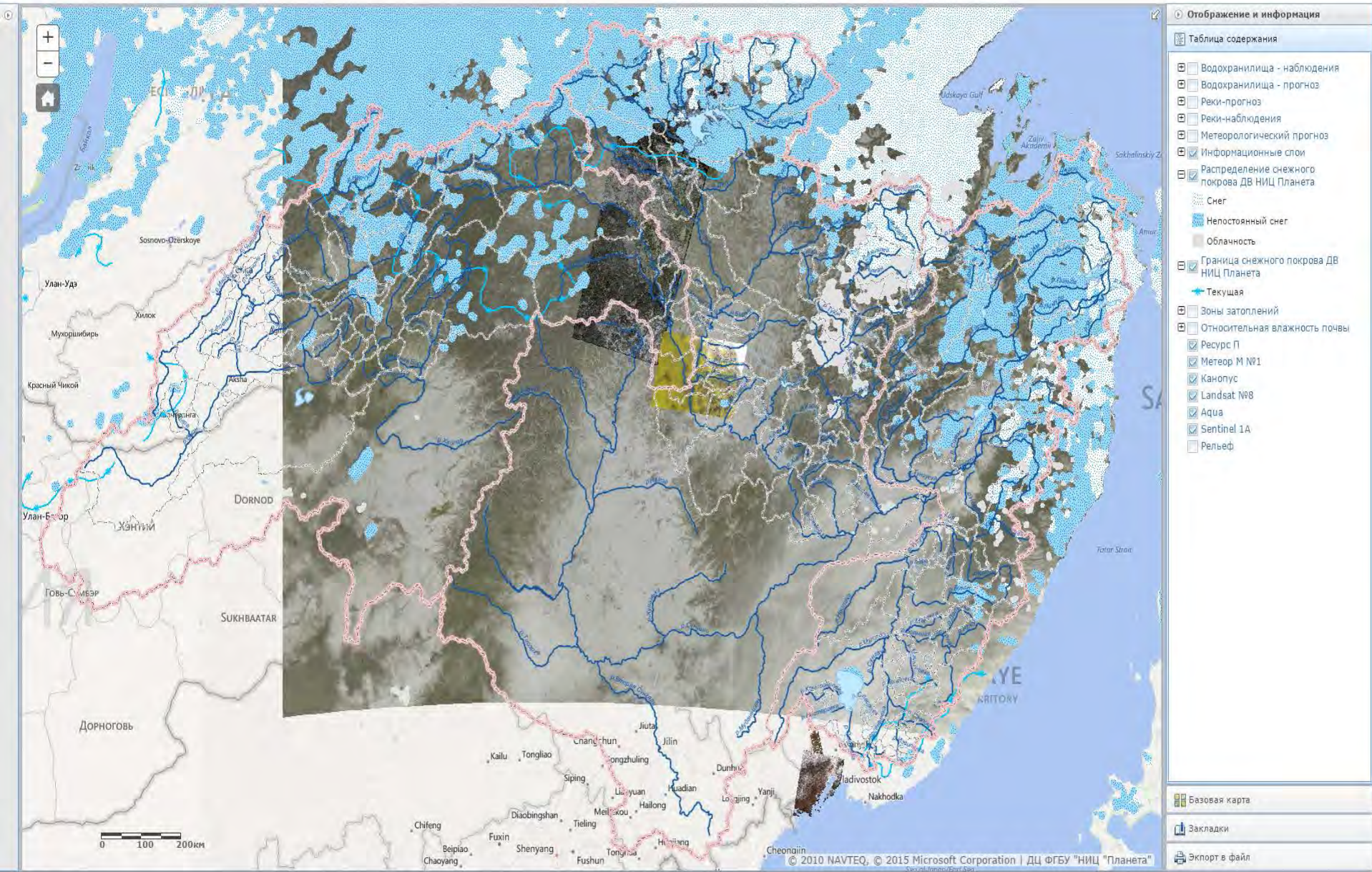
| Относительная влажность | Спутник | Сенсор | Разрешение | point_code | От влажность почвы | Дата | id_product | OBJECTID | <Приблизить> |
|-------------------------------|-----------------|--------|------------|------------|--------------------|---------------------|------------|----------|-------------------|
| Относительная влажность почвы | Метор-А Метор-В | ASCAT | 12 | 11388 | 62 | 28.04.2015 12:00:00 | 115118 | 1176123 | Показать на карте |
| Относительная влажность почвы | Метор-А Метор-В | ASCAT | 12 | 1900 | 7 | 28.04.2015 12:00:00 | 115118 | 1172485 | Показать на карте |
| Относительная влажность почвы | Метор-А Метор-В | ASCAT | 12 | 2032 | 8 | 28.04.2015 12:00:00 | 115118 | 1172512 | Показать на карте |
| Относительная влажность почвы | Метор-А Метор-В | ASCAT | 12 | 2291 | 7 | 28.04.2015 12:00:00 | 115118 | 1172560 | Показать на карте |
| Относительная влажность почвы | Метор-А Метор-В | ASCAT | 12 | 2402 | 87 | 28.04.2015 12:00:00 | 115118 | 1172567 | Показать на карте |

Web-services of satellite data



ГИС "АМУР"

Наблюдения, анализ и прогноз паводков



Text format output products

Сводная таблица прогнозов по гидрологическим постам Амура и Зеи

Фактические уровни воды в бассейне р.Амур на 22 октября 2014 года
и прогноз уровней воды (в см над нулем графика поста) на 23 - 28 октября 2014 года

| Индекс поста | Река - Пункт | Нуль графика поста | НФ | Пойма | НЯ | ОЯ | 23.10.14 | 24.10.14 | 25.10.14 | 26.10.14 | 27.10.14 | 28.10.14 |
|--------------|--------------------------|--------------------|-----|-------|------|------|----------|----------|----------|----------|----------|----------|
| 06005 | Амур - с. джалинда | 250.94 | 115 | 510 | 700 | 800 | 117 | | | | | |
| 06010 | Амур - с. Черняево | 199.53 | 71 | 600 | 700 | 800 | 68 | 71 | | | | |
| 06016 | Амур - с. Кумара | 160.53 | 121 | 500 | 750 | 830 | 110 | 112 | | | | |
| 06022 | Амур - г. Благовещенск | 119.88 | 46 | 510 | 700 | 800 | 64 | 66 | 50 | 46 | 89 | 59 |
| 06024 | Амур - с. Константиновка | 107.64 | 92 | 500 | 700 | 750 | 94 | 121 | 114 | 107 | | |
| 06027 | Амур - с. Иннокентьевка | 87.52 | 151 | 640 | 850 | 930 | 147 | 144 | | | | |
| 06030 | Амур - с. Пашково | 72.5 | 517 | 1300 | 1400 | 1600 | 515 | 517 | 511 | | | |
| 05002 | Амур - с. Нагибово | 50.88 | 318 | 800 | 880 | 1000 | 316 | | | | | |
| 05004 | Амур - с. Ленинск | 42.94 | 183 | 620 | 750 | 800 | 174 | 174 | | | | |
| 05012 | Амур - г. Хабаровск | 30.69 | -49 | 300 | 450 | 600 | -40 | -44 | -51 | -72 | -48 | |
| 05016 | Амур - с. Елабуга | 25.49 | 1 | 300 | 450 | 550 | -2 | | | | | |
| 05019 | Амур - с. Троицкое | 20.52 | -44 | 250 | 380 | 450 | -43 | | | | | |
| 05020 | Амур - с. Малмыж | 16.89 | -94 | 270 | 400 | 560 | -94 | | | | | |
| 05024 | Амур - г. Комсомольск | 12.93 | -83 | 300 | 450 | 600 | -87 | -89 | -84 | -101 | | |
| 06280 | Зея - пос. Поляковский | 182.62 | 362 | 850 | 1000 | 1300 | 364 | | | | | |
| 06286 | Зея - с. Мазаново | 152.98 | 45 | 450 | 550 | 620 | 38 | 45 | | | | |
| 06291 | Зея - с. Малая Сазанка | 134.44 | 309 | 780 | 900 | 970 | 308 | 312 | | | | |
| 06295 | Зея - с. Белогорье | 123.97 | 221 | 500 | 660 | 730 | 228 | 228 | | | | |
| 06364 | Селемджа - с. Стойба | 339.66 | -74 | 300 | 400 | 450 | -65 | | | | | |
| 06369 | Селемджа - Норск | 200.49 | 101 | 450 | 650 | 700 | 70 | | | | | |

Нуль поста - высота отметки нуля графика поста в м Б.С.

НФ - фактический уровень воды на 8-00 местного времени по состоянию на 22.10.2014

Критические значения уровня воды, в см над нулем графика поста:

Пойма - уровень, при котором происходит выход воды на пойму

НЯ - отметка неблагоприятного явления

ОЯ - отметка опасного явления

Дата выпуска прогноза: 22 октября 2014 года

Conclusions

1. Поступление гидрологической информации (объем, время поступления)
2. ???